

**„Red Tail“ :**  
**Auswirkung eines zusätzlichen**  
**tiefroten Spektralanteils auf das**  
**Weißlicht von LED-Scheinwerfern**  
**- am Beispiel der Beleuchtung von Hauttönen im**  
**TV-Bereich**

**Bachelor-Thesis**  
zur Erlangung des akademischen Grades B.Sc.

**Matthias Held**  
**2182712**



Hochschule für Angewandte Wissenschaften Hamburg  
Fakultät Design, Medien und Information  
Department Medientechnik

Erstprüfer: Prof. Dr. Roland Greule  
Zweitprüfer: Dipl. Ing. (FH) Matthias Allhoff

Hamburg, 27. 08. 2018

# Inhaltsverzeichnis

<b>1</b>	<b>Einleitung</b>	<b>5</b>
<b>2</b>	<b>Grundlagen und Kenngrößen der Lichttechnik</b>	<b>6</b>
2.1	Reflektion, Transmission, Absorption . . . . .	6
2.2	Lichtstrom $\Phi$ . . . . .	6
2.3	Beleuchtungsstärke E . . . . .	6
2.4	Lichtstärke I . . . . .	6
2.5	Leuchtdichte L . . . . .	6
<b>3</b>	<b>Leuchtmittel</b>	<b>7</b>
3.1	Glühlampe . . . . .	7
3.2	Halogenglühlampe . . . . .	7
3.3	Entladungslampen . . . . .	7
3.4	LEDs . . . . .	7
3.5	Farbtemperatur . . . . .	7
<b>4</b>	<b>Farbe und Farbräume</b>	<b>8</b>
4.1	Farben mit dem Auge sehen . . . . .	8
4.2	Hauttöne . . . . .	13
4.3	RGB Farbraum . . . . .	13
4.4	CIE-XYZ Farbraum . . . . .	14
4.5	CIE-unity chromity scale-Farbtafel (CIE-UCS) . . . . .	18
<b>5</b>	<b>Lichtechnische Parameter</b>	<b>21</b>
5.1	CIE: Color Rendering Index (CRI) . . . . .	21
5.2	NIST: Color Quality Scale (CQS) . . . . .	24
5.3	EBU: Television Lighting Consistency Index (TLCI) . . . . .	26
5.4	IES Method for Evaluating Light Source Color Rendition (TM-30-15) . . . . .	30
<b>6</b>	<b>Vormessungen</b>	<b>35</b>
6.1	Aufbau und Messungen . . . . .	35
6.2	Fazit aus der Vormessung . . . . .	35
6.3	Referenzlicht . . . . .	36
<b>7</b>	<b>Hauptmessung</b>	<b>38</b>
7.1	Messaufbau und Messungen . . . . .	38

<b>8</b>	<b>Messergebnisse</b>	<b>39</b>
8.1	Analyse der Farbwiedergabewerte . . . . .	39
8.2	Fazit aus den Hauptmessungen . . . . .	40
<b>9</b>	<b>Umfrage</b>	<b>41</b>
9.1	Anpassung der Scheinwerfer . . . . .	41
9.2	Auswahl der Kamera und der Probanden . . . . .	42
9.3	Erstellung der Bilder . . . . .	42
9.4	Umfrage nach Rec. ITU-R BT.500-11 . . . . .	43
9.5	Aufbau und Durchführung der Umfrage . . . . .	43
<b>10</b>	<b>Umfrageergebnisse</b>	<b>44</b>
<b>11</b>	<b>Auswertung aller Ergebnisse</b>	<b>45</b>
11.1	Unterkapitel mit Mathematik, Bildern und Querverweisen . . . . .	45
<b>12</b>	<b>Fazit</b>	<b>46</b>
12.1	Unterkapitel mit Mathematik, Bildern und Querverweisen . . . . .	46
	<b>Abbildungsverzeichnis</b>	<b>47</b>
	<b>Tabellenverzeichnis</b>	<b>49</b>
	<b>Literaturverzeichnis</b>	<b>50</b>

## Abstract

Form and layout of this L<sup>A</sup>T<sub>E</sub>X-template incorporate the guidelines for theses in the Media Technology Department „Richtlinien zur Erstellung schriftlicher Arbeiten, vorrangig Bachelor-Thesis (BA) und Master-Thesis (MA) im Department Medientechnik in der Fakultät DMI an der HAW Hamburg“ in the version of December 6, 2012 by Prof. Wolfgang Willaschek.

The thesis should be printed single-sided (simplex). The binding correction (loss at the left outer edge due to binding) might be adjusted, according to the type of binding. This template incorporates a binding correction as BCOR=1mm (suitable for adhesive binding) in the L<sup>A</sup>T<sub>E</sub>X document header.

**This is the english version of the opening abstract** (don't forget to set L<sup>A</sup>T<sub>E</sub>X's language setting back to ngerman after the english text).

## Zusammenfassung

Diese Arbeit befasst sich mit der Auswirkung eines zusätzlichen tiefroten Spektralan-teils auf das kaltweiße Lichtspektrum von LED-Scheinwerfern. Es soll dabei überprüft werden, ob Personen unter diesen Umständen im Kamerabild natürlicher aussehen, wie es in der „Red Tail“ - Theorie der mo2 design GmbH angenommen wird.

Zunächst wird auf wichtige Kenngrößen der Lichttechnik eingegangen und verschiedene Leuchtmittel und lichttechnische Parameter werden erläutert. Im Folgenden werden die Messungen beschrieben.

Bei diesen wird ein LED-Scheinwerfer und ein rotgefilterter PAR-Scheinwerfer, der den „Red Tail“ simulieren soll, auf einen Messpunkt ausgerichtet. Der LED-Scheinwerfer wird zuerst allein auf eine kaltweiße Referenzlichtquelle bestmöglich abgeglichen und spektral vermessen. Anschließend wird der rotgefilterter PAR-Scheinwerfer dazugeschaltet und auch dieses Lichtgemisch wird auf die Referenzlichtquelle abgeglichen und spektral vermessen. Bei der Auswertung werden die gemessenen lichttechnischen Parameter betrachtet und zusätzlich werden bei einer Umfrage Bilder verglichen, auf denen Probanden verschiedener Hauttöne mit und ohne „Red Tail“ beleuchtet wurden.

# 1 Einleitung

## **2 Grundlagen und Kenngrößen der Lichttechnik**

**2.1 Reflektion, Transmission, Absorption**

**2.2 Lichtstrom  $\Phi$**

**2.3 Beleuchtungsstärke E**

**2.4 Lichtstärke I**

**2.5 Leuchtdichte L**

## **3 Leuchtmittel**

### **3.1 Glühlampe**

### **3.2 Halogenglühlampe**

### **3.3 Entladungslampen**

### **3.4 LEDs**

### **3.5 Farbtemperatur**

Bei Entladungslampen und LED-Scheinwerfer spricht man von CCT, weil diese versuchen bestimmte Farbtemperaturen mit ihrem Licht nachzuahmen.

## 4 Farbe und Farbräume

In diesem Kapitel wird auf die Grundlagen der Farben und Farbräume eingegangen.

### 4.1 Farben mit dem Auge sehen

Es gibt zwei verschiedene Fälle, in denen der Mensch die Gesichtsempfindung Farbe verspürt: Entweder leuchtet ein Objekt von selbst, sodass dessen Licht aus einem Spektralbereich des sichtbaren Spektrums ins Auge gelangt und dann im Zusammenspiel mit dem Gehirn ein Farbreiz  $\phi(\lambda)$  erzeugt. In diesem Fall nennt man das Objekt einen Selbstleuchter. Die zweite Möglichkeit ist, dass das Objekt von einer Lichtquelle beleuchtet wird und das reflektierte Lichtspektrum wahrgenommen wird. Der Gegenstand absorbiert und transmittiert bestimmte spektrale Anteile des Lichts und reflektiert den für den Farbton verantwortlichen Rest (Kapitel 2). Daher erscheint beispielsweise ein roter Apfel von blauem Licht beleuchtet unbunt, da kein roter Spektralanteil im blauen Licht vorhanden ist. In diesem zweiten Fall spricht man von Körperfarben<sup>1</sup>.

Damit ein Mensch so einen Farbreiz wahrnehmen kann, gibt es im Auge zwei Arten von lichtempfindlichen Rezeptoren in der Netzhaut, die für unsere Farbwahrnehmung verantwortlich sind: Zapfen und Stäbchen.

Die Stäbchen nehmen verschiedene Helligkeitseindrücke wahr, können aber keine Farben unterscheiden. Daher sind sie für das skotopische Sehen (Nachtsehen) von  $3 \cdot 10^{-6} \frac{cd}{m^2}$  bis  $0,03 \frac{cd}{m^2}$  verantwortlich<sup>2</sup>. Die verschiedenen spektralen Anteile des Lichts wirken sich auf die Zapfen aus und verantworten so den Farbeindruck. Außerdem sind die Zapfen für das photopische Sehen (Tagessehen), ab einer Leuchtdichte von  $3 \frac{cd}{m^2}$ , zuständig<sup>3</sup>.

Der Mensch kann Wellenlängen von 380nm bis 780nm wahrnehmen. Jedoch ist das Auge nicht für alle Farben gleich empfindlich. Grüne Gegenstände (555nm) wirken immer heller als blaue (485nm) oder rote (680nm). Dieser Sachverhalt wurde mit der  $V(\lambda)$ -Kurve aufgezeigt (Abbildung 4.1).

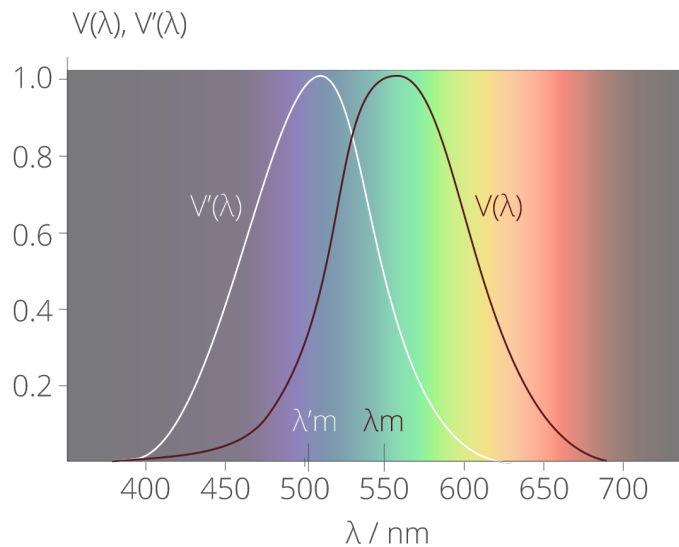
---

<sup>1</sup>(Hentschel 1993: 103)

<sup>2</sup>DocCheck Flexikon (2014)

<sup>3</sup>DocCheck Flexikon (2014)





**Abbildung 4.1:** Die  $V(\lambda)$ -Kurve zeigt, wie das Auge die verschiedenen Wellenlänge beim photopischen Sehen gewichtet. Die weiße Kurve ( $V'(\lambda)$ ) beschreibt, wie sich das Farbsehen beim Nachtsehen verschiebt. <sup>4</sup>

Mit den Zapfen und Stäbchen kann ein Mensch bis zu 200 verschiedene Farbtöne wahrnehmen. Wenn man die verschiedenen möglichen Helligkeiten und Weißkombinationen dieser Farbtöne zusätzlich in Betracht zieht, kann man von ca. 20 Millionen unterschiedlichen Farben sprechen, die ein Mensch erkennen kann <sup>5</sup>.

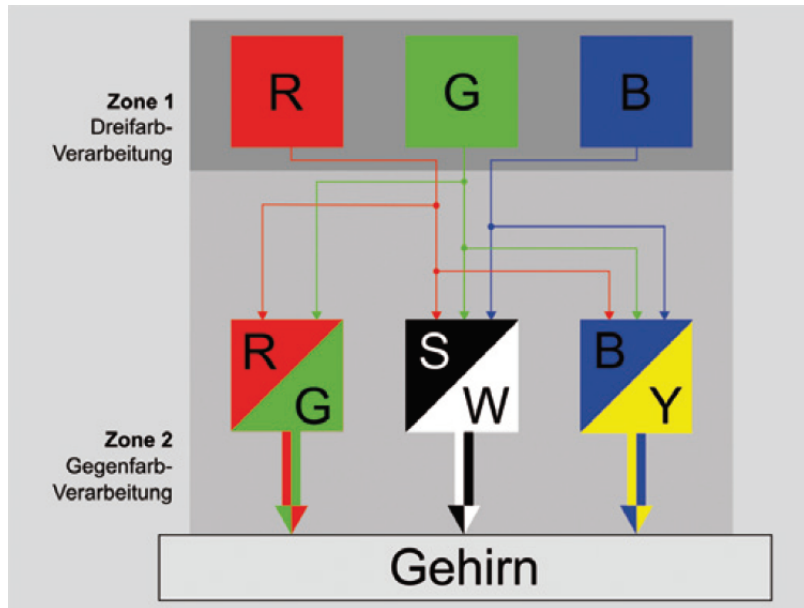
Um all diese Farben unterscheiden zu können gibt es nach Young und Helmholtz drei Rezeptortypen. Die „Trichromatische Theorie“ besagt, dass es grüne, blaue und rote Zapfen gibt, die unterschiedlich empfindlich für die jeweiligen Spektralanteile des Lichtes sind. Aus diesen drei Farbinformation (RGB-Werte) entsteht dann im Gehirn eine Farbe. Auf diese Weise lassen sich aber nicht alle Phänomene der Farbwahrnehmung erklären. 1878 hat Hering eine andere Theorie entwickelt, wie Farben wahrgenommen werden und diese „Gegenfarbentheorie“ genannt. Die Theorie besagt, dass es immer zwei Farben gibt, die sich gegensätzlich verhalten: rot und grün, blau und gelb und der unbunte Gegensatz schwarz (dunkel) und weiß (hell).

Nach ein paar Jahren der Uneinigkeit, welche der genannten Theorie denn nun korrekt ist, hat 1905 v. Kries mit seiner „Zonentheorie“ herausgestellt, dass beide Theorien zugleich zutreffen. In der ersten Zone wird im Auge nach der „Trichromatische Theorie“ eine Farbe als RGB-Stimulus wahrgenommen, dieser wird dann in der zweiten Zone nach der „Gegenfarbentheorie“ im Gehirn mit den drei Farbgegensätzen ausgewertet <sup>6</sup> (Abbildung 4.2).

<sup>4</sup><https://www.gigahertz-optik.de/assets/Uploads/Abb.-II.13-neu-v03.png>

<sup>5</sup>Bladowski & Maus (2010)

<sup>6</sup>(Hentschel 1993: 104)



**Abbildung 4.2:** Darstellung der „Zonentheorie“ von v. Kries <sup>7</sup>

Bei der additiven Farbmischung werden die Spektralanteile verschiedener Farbtöne als Mischfarbe erkannt. Dies kann auf unterschiedliche Weisen passieren. Entweder treffen zwei verschiedene Spektralanteile auf den gleichen Punkt auf der Netzhaut und lösen so einen Farbreiz aus. Oder das Licht verschiedener Wellenlängen trifft auf unterschiedliche Teile der Netzhaut, die so dicht aneinander sind, dass das Auge daraus eine Farbe mischt (örtliche Nähe). Oder derselbe Punkt auf der Netzhaut wird von zwei verschiedenen Spektralanteilen mit einer Wechselfrequenz von  $f \geq 25\text{Hz}$  getroffen (zeitliche Nähe). Oder das Licht verschiedener Wellenlängen trifft auf unterschiedliche Teile der Netzhaut, die so dicht aneinander sind, dass das Auge daraus eine Farbe mischt.

Grundsätzlich werden bei jeder Art der additiven Farbmischung die Strahlungsleistungen der Spektralanteile  $\Phi_{e\lambda,i}(\lambda)$  zusammenaddiert<sup>8</sup>(Gleichung 4.1).

$$\Phi_{e\lambda}(\lambda) = \Phi_{e\lambda,1}(\lambda) + \Phi_{e\lambda,2}(\lambda) + \Phi_{e\lambda,3}(\lambda) \quad (4.1)$$

1853 hat Grassmann zur additiven Farbmischung drei allgemein gültige Regeln aufgestellt <sup>9</sup>:

<sup>7</sup>(Greule 2014: 153)

<sup>8</sup>(Greule 2014: 83)

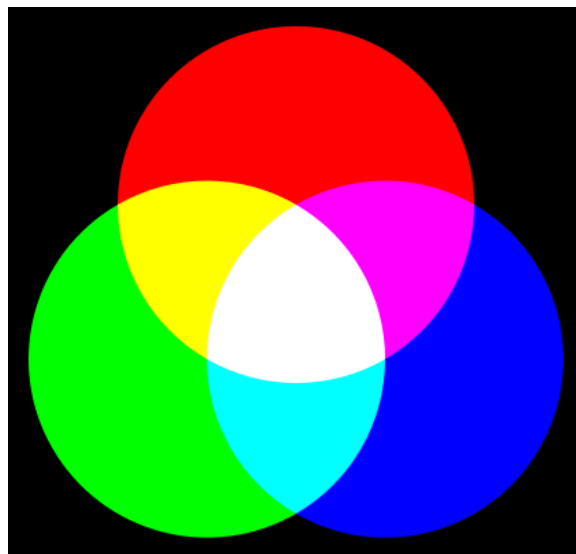
<sup>9</sup>(Hentschel 1993: 105)

1. Für das Ergebnis einer additiven Farbmischung ist nur das Aussehen, nicht die spektrale Zusammensetzung der Komponenten maßgebend.
2. Alle Farbmischungen verlaufen stetig.
3. Zum Festlegen einer Farbe sind drei Bestimmungsstücke notwendig und hinreichend.

Die erste Regel beschreibt beispielweise das Verhalten einer Tomate unter gemischtem und ungemischtem magentafarbenen Licht. Wird die Tomate von einem magentanen Licht bestrahlt, dessen Spektrum nur Anteile im Magentabereich hat, so wird die Tomate weitestgehend unbunt erscheinen, weil diese alle spektralen Anteile des Lichts, außer den roten, absorbiert. Falls man aber rotes Licht mit blauem Licht mischt und so die selbe Lichtfarbe wie von dem reinen magentafarbenen Licht erzeugt, so erscheint die Tomate unter diesem Licht wiederum trotzdem rot, da die Rot-Anteile im Spektrum vorhanden sind. Man kann jedoch mit dem bloßen Auge diese beiden Farben nicht unterscheiden (metamere Farben), da der Mensch die spektrale Zusammensetzung von Licht nicht wahrnimmt.

Die zweite Regel zeigt auf, dass bei der additiven Farbmischung die Farben stets ineinander übergehen und kein Sprung dabei entsteht, wenn zwei Farben zu einer Mischfarbe werden.

Die dritte Regel besagt, dass die additive Farbmischung beispielsweise über die Grundfarben Rot, Grün und Blau definiert werden kann. In der Abbildung 4.3 ist dargestellt wie aus den Grundfarben die Farben gemischt werden.



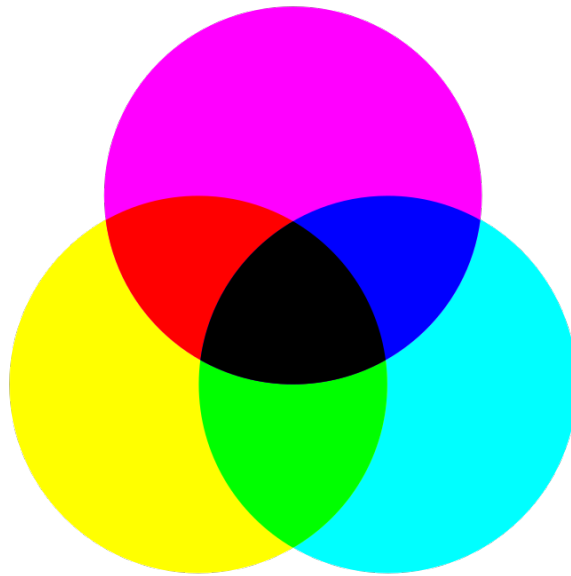
**Abbildung 4.3:** Die drei Grundfarben Rot, Grün und Blau der additiven Farbmischung ergeben zusammen weiß (unbunt).<sup>10</sup>

<sup>10</sup><https://upload.wikimedia.org/wikipedia/commons/thumb/e/e0/Synthese%2B.svg/420px-Synthese%2B.svg.png>

Bei der subtraktiven Farbmischung geht es nicht um die Farbwahrnehmung des Auges, sondern um Licht im rein physikalischen Sinne. Ein subtraktives Farbgemisch entsteht, wenn die Transmissions- und Reflektionseigenschaften zweier Farben miteinander multipliziert werden<sup>11</sup> (Gleichung 4.2).

$$T(\lambda) = T_1(\lambda) \cdot T_2(\lambda) \cdot T_3(\lambda) \quad (4.2)$$

Die Formel stellt ein Beispiel für das Produkt der Transmissionswerte dar. Hierbei handelt es sich um ein wesentlich komplizierteren Prozess als bei der additiven Farbmischung. Da durch diese Multiplikation der Farben ein spektraler Anteil entfällt, spricht man von einer subtraktiven Farbmischung, obwohl das Produkt der Farbeigenschaften gebildet wird (Abbildung 4.4).



**Abbildung 4.4:** Die drei Grundfarben Cyan, Magenta und Gelb der subtraktiven Farbmischung ergeben zusammen schwarz (unbunt).<sup>12</sup>

Wenn man alle drei Grundfarben der subtraktiven Farbmischung mischt entsteht schwarz, weil dann alle Anteile im Licht abgezogen wurden.

<sup>11</sup>(Greule 2014: 84)

<sup>12</sup>[https://upload.wikimedia.org/wikipedia/commons/thumb/6/64/CMY\\_ideal\\_version\\_rotated.svg/649px-CMY\\_ideal\\_version\\_rotated.svg.png](https://upload.wikimedia.org/wikipedia/commons/thumb/6/64/CMY_ideal_version_rotated.svg/649px-CMY_ideal_version_rotated.svg.png)

## 4.2 Hauttöne

## 4.3 RGB Farbraum

Durch die Festlegung verschiedener Farbräume hat die CIE die Farben von Licht immer besser einordnen und beschreiben können. Der große Vorteil bei diesen Farbräumen besteht darin, dass man durch eine lineare Transformation von einer Farbraumdarstellung in die nächste Wechseln kann und die spektrale Empfindlichkeitskurve mit transformiert wird. So wird sichergestellt, dass jede Farbe nach der natürlichen Wahrnehmung des Menschen gewertet wird. Angefangen hat all dies mit dem RGB-Farbraum. Dieser Farbraum wird mit den drei Grundfarben der additiven Farbmischung, den Primärvalenzen Rot, Grün und Blau aufgespannt. Die Farben ergeben jeweils die Ecken und in der Mitte entsteht so der Weißpunkt des Farbraumes. Eine Farbe lässt sich dann über die Farbwertanteile  $r$ ,  $g$  und  $b$  in diesem Farbraum orten<sup>13</sup> (Gleichung 4.3).

$$r = \frac{R}{R + G + B}, \quad g = \frac{G}{R + G + B}, \quad b = \frac{B}{R + G + B} \quad (4.3)$$

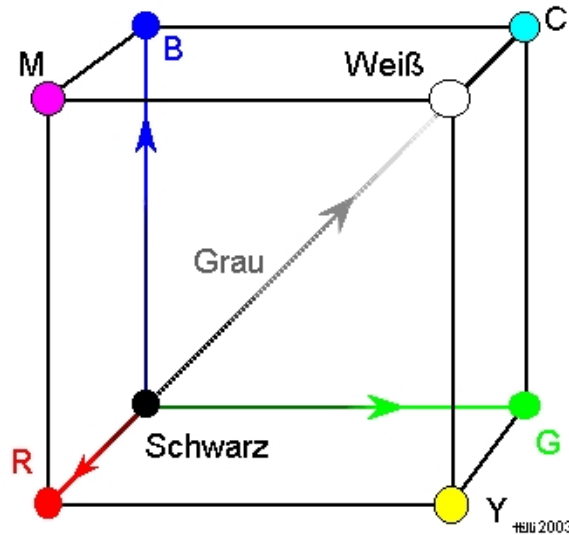
Der RGB-Farbraum ist so konstruiert, dass jede Kombination aus den drei Farbkoordinaten zusammen 1 ergibt. Es reichen also zwei Koordinaten aus, um den sogenannten Farbart bestimmen zu können, da sich die dritte Koordinate von selbst erschließt (Gleichung 4.4).

$$b = 1 - r - g \quad (4.4)$$

Man kann den RGB-Farbraum auch dreidimensional als Würfel aufspannen. Dort ist die Farbe schwarz der Ursprung und weiß die Kombination aus allen drei Farbvektoren (Abbildung 4.5).

---

<sup>13</sup>(Hentschel 1993: 106)



**Abbildung 4.5:** Beim RGB-Würfel werden alle Primärvalenzen R,G, B als gleich lange Vektoren angenommen.<sup>14</sup>

## 4.4 CIE-XYZ Farbraum

Der RGB-Farbraum kann nicht alle Farben des sichtbaren Spektrum abbilden. Wright und Guild haben dazu Tests mit einem Monochromator gemacht. Ein Proband, der Farbflächen von 2° Gesichtsfeldgröße sieht, sollte mit 700nm rot, 546nm grün und 435nm blau die gesehene Farbe nachmischen. Bei einer Referenzfarbe von 500nm blau-grün gab es keine Möglichkeit, diese Farbe mit den drei RGB-Farben zu mischen. Es musste sogar auf der Referenzfarbe rot dazugemischt werden, damit man auf das Blau-Grün abgleichen konnte. Dies würde einen negativen Rot-Anteil im RGB-Farbraum bedeuten, den es so nicht geben kann. Daher hat die CIE 1931 ein virtuelles Primärvalenzsystem erarbeitet<sup>15</sup>.

Im CIE-XYZ Farbraum gibt es die Primärvalenzen X, Y und Z, die aus einer linearen Transformation des RGB-Farbraum entstanden sind<sup>16</sup> (Gleichungen 4.5 - 3.7).

$$X = R_x \cdot R + G_x \cdot G + B_x \cdot B \quad (4.5)$$

$$Y = R_y \cdot R + G_y \cdot G + B_y \cdot B \quad (4.6)$$

$$Z = R_z \cdot R + G_z \cdot G + B_z \cdot B \quad (4.7)$$

Der Y-Wert entspricht dabei der Farbfunktion  $y_\lambda$ , die der  $V(\lambda)$ -Kurve (Abbildung 4.1) gleicht, und steht daher für die Helligkeit der Farbe. Dies ist eine Erweiterung zum RGB-Farbraum, in dem die Helligkeit nicht direkt mit einbezogen wurde. Der

<sup>15</sup>(Greule 2014: 77)

<sup>16</sup>(Greule 2014: 76-77)

X-Wert zeigt den rot-grün-Anteil an und am Z-Wert lässt sich der Blau-Gelb-Anteil einer Farbe bestimmen<sup>17</sup>.

Aus diesen Primärvarianzen lassen sie sich Farbanteile ausrechnen, die auf der Farbtabelle des CIE-XYZ Farbraums dargestellt werden (Gleichung 4.8).

$$x = \frac{X}{X + Y + Z}, \quad y = \frac{Y}{X + Y + Z}, \quad z = 1 - x - y \quad (4.8)$$

Auch hier reichen zwei Normfarbwertanteile aus, um den Farbart (x,y) zu bestimmen. x steht für den Farbton und y für die Sättigung. Aus x und y kann jedoch kein Rückschluss auf die X, Y und Z Normalvalenzen gezogen werden und so ist zum Beispiel eine Bestimmung der Helligkeit (Y) aus dem Farbart nicht möglich<sup>18</sup>.

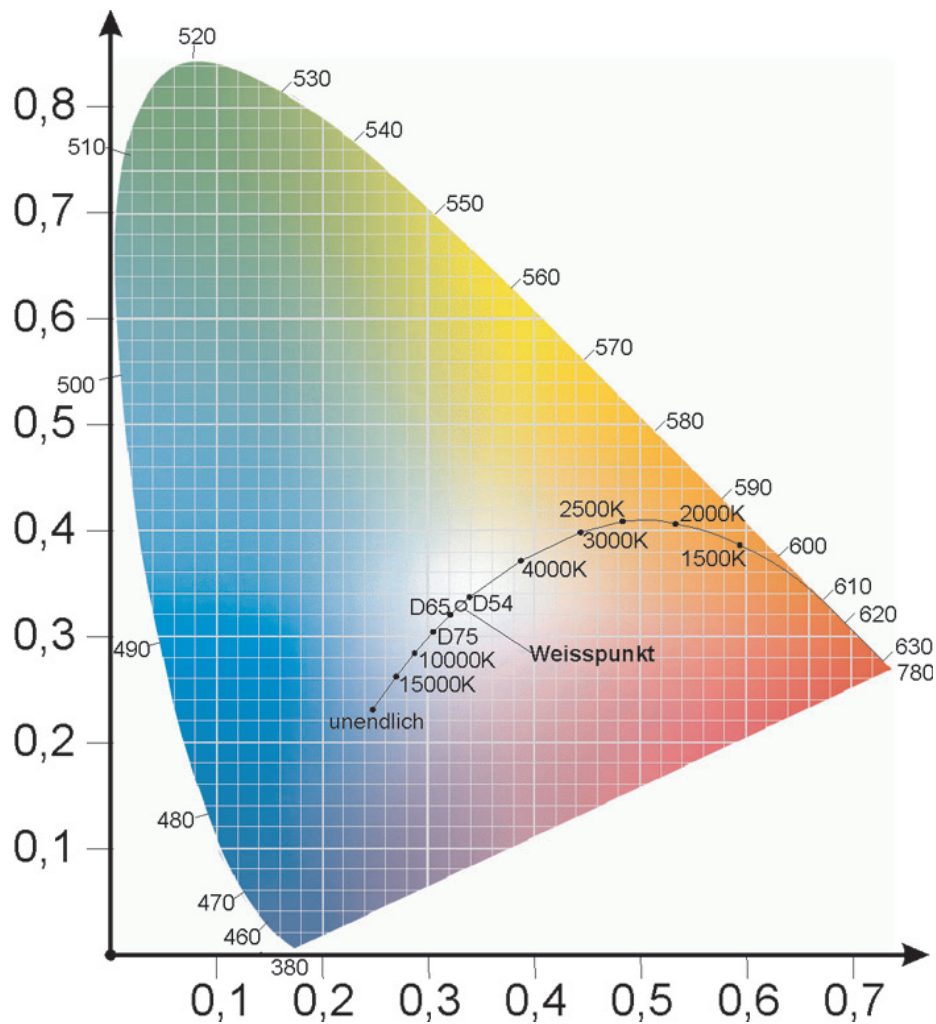
Über die Grenzen des mit x und y aufgespannten Farbraums erstrecken sich von 380nm blau zu grün und gelb zu 780nm rot alle sichtbaren Farben des Spektrums. Die beiden Enden des Farbraumes sind auf der gegenüberliegenden Seite über die theoretische Purpur-Graden miteinander verbunden. Die Farben auf dieser Geraden werden vom menschlichen Auge magenta interpretiert, gehören aber nicht mehr zum sichtbaren Wellenlängenbereich dazu<sup>19</sup>. Der Unbuntpunkt liegt bei  $x = y = 0,33$  (Abbildung 4.6).

---

<sup>17</sup>(Mueller 2014: 72)

<sup>18</sup>(Greule 2014: 79)

<sup>19</sup>(Mueller 2014: 73)

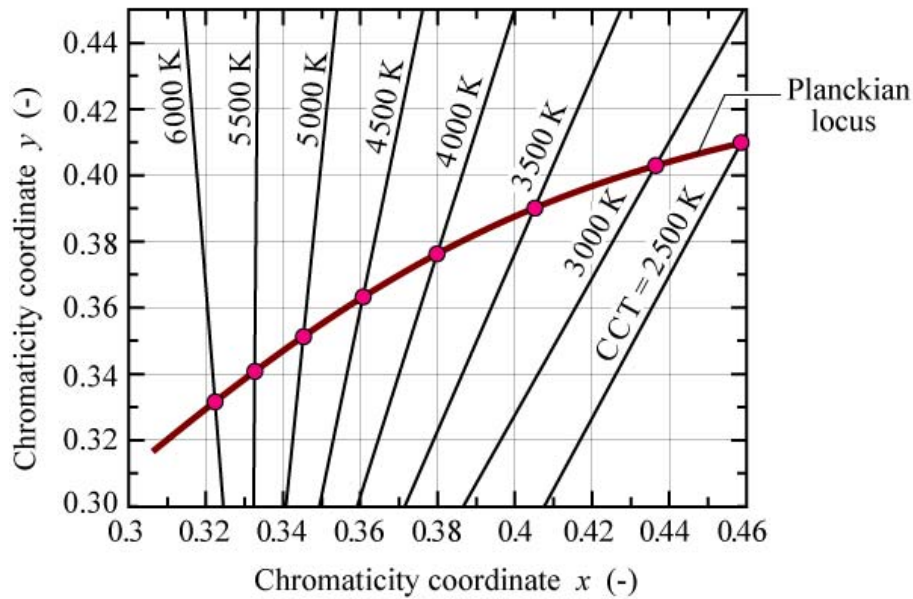


**Abbildung 4.6:** Darstellung der CIE-XYZ Farbtabelle eines 22° Normalbeobachter. Diese Bezeichnung entstammt aus den Tests von Wright und Guild.<sup>20</sup>

Im XYZ-Farbdiaagramm ist der Plank'sche Kurvenverlauf eingezeichnet. Wenn ein Farbpunkt auf diese Kurve trifft wird ihm die jeweilige Farbtemperatur zugeschrieben. Landet der Farbpunkt in der Nähe dieser Kurve spricht man von einer korrelierten Farbtemperatur (CCT). Es wurden so genannte „Geraden ähnlichster Farbtemperatur“ bestimmt, die anzeigen welche korrelierten Farbtemperatur vom Farbpunkt getroffen wird (Abbildung 4.7)

<sup>20</sup><https://www.production-partner.de/wp-content/uploads/2018/02/Farbdreieck.jpg>





**Abbildung 4.7:** Zoomansicht des XYZ-Farbraumes mit den „Geraden ähnlichster Farbtemperatur“ <sup>21</sup>

Trifft eine Leuchte mit ihren  $x$ ,  $y$  Normfarbwertanteilen auf einen Punkt über der Plank'schen Kurve, so erscheint der Weißton grünstichig, trifft sie unter die Kurve, dann wirkt das Weiß magentastichig. Ist der Farbart zu weit von der Plank'schen Kurve entfernt, kann keine Farbtemperatur bestimmt werden.

Wenn man zwei Farben im XYZ-Farbraum vergleichen will, ist vorsichtig geboten, da die Farben auf der Farbtafel nicht mit gleich großem Abstand dargestellt werden. Dies ist daran zu erkennen, dass die Farbabstände im roten (620nm - 770nm) und blauen (380nm - 470nm) Bereich sehr nahe beieinander liegen, wohingegen sich der grüne Bereich (500nm - 570nm) sich über einen großen Anteil des hufeisenförmigen Rand erstreckt. Farbkontraste verhalten sich also nicht wie mit dem Auge wahrgenommenen Farben. Mit diesem Phänomen hat sich MacAdam beschäftigt und so sind 1940 die „MacAdam Ellipsen“ entstanden (Abbildung 4.8).

<sup>21</sup><http://www.light.fi/blog/wp-content/uploads/2016/04/xyChromaticity-diagram.png>

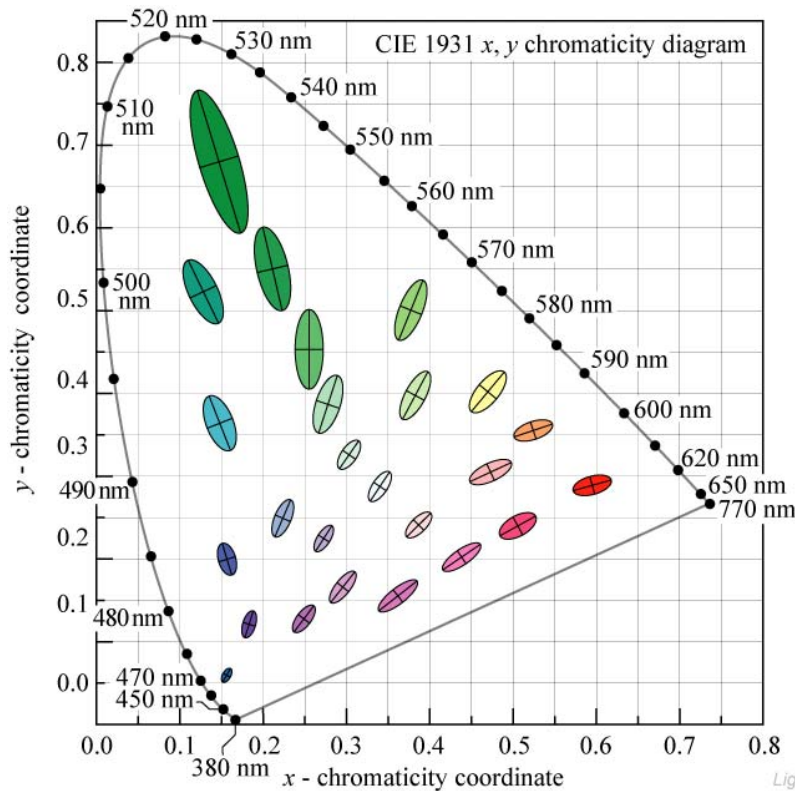


Fig. 17.5. MacAdam ellipses plotted in the CIE 1931  $(x, y)$  chromaticity diagram. The axes of the ellipses are ten times their actual lengths (after MacAdam, 1943; Wright, 1943; MacAdam, 1993).

E. F. Schubert  
Light-Emitting Diodes (Cambridge Univ. Press)  
[www.LightEmittingDiodes.org](http://www.LightEmittingDiodes.org)

**Abbildung 4.8:** Abbildung der MacAdam Ellipsen im XYZ-Farbraum<sup>22</sup>

Die MacAdam Ellipsen zeigen die Bereich an, in dem ein Normbalbeobachter zwei unterschiedliche Farbtöne dem selben Farbton zuordnen würde. Hätte der Farbraum annähernd gleiche Farbabstände, dann wären die Ellipsen kreisförmig. Es wird also deutlich, dass der XYZ-Farbraum ein paar Schwächen aufweist. Das liegt daran, dass die X, Y und Z Primärvalenzen nur auf der additiven Farbmischung beruhen. Die subtraktive Farbmischung, die ihr weiß aus 100% Cyan, Magenta und Gelb mischt, ist in dieser Farbraumdarstellung nicht darstellbar (Farben mit voller Sättigung liegen auf dem Kurvenrand). Außerdem hat MacAdam gezeigt, dass die Farbabstände nicht mit der realen Farbwahrnehmung zusammenhängt. So eignet sich der CIE-XYZ-Farbraum nur zur eindeutigen Bestimmung eines Farbreizes<sup>23</sup>.

## 4.5 CIE-unity chromity scale-Farbtabel (CIE-UCS)

Damit die Farbabstände aus der Farbtabel besser mit der tatsächlichen Farbwahrnehmung übereinstimmt hat die CIE 1976 die UCS-Farbtabel definiert.

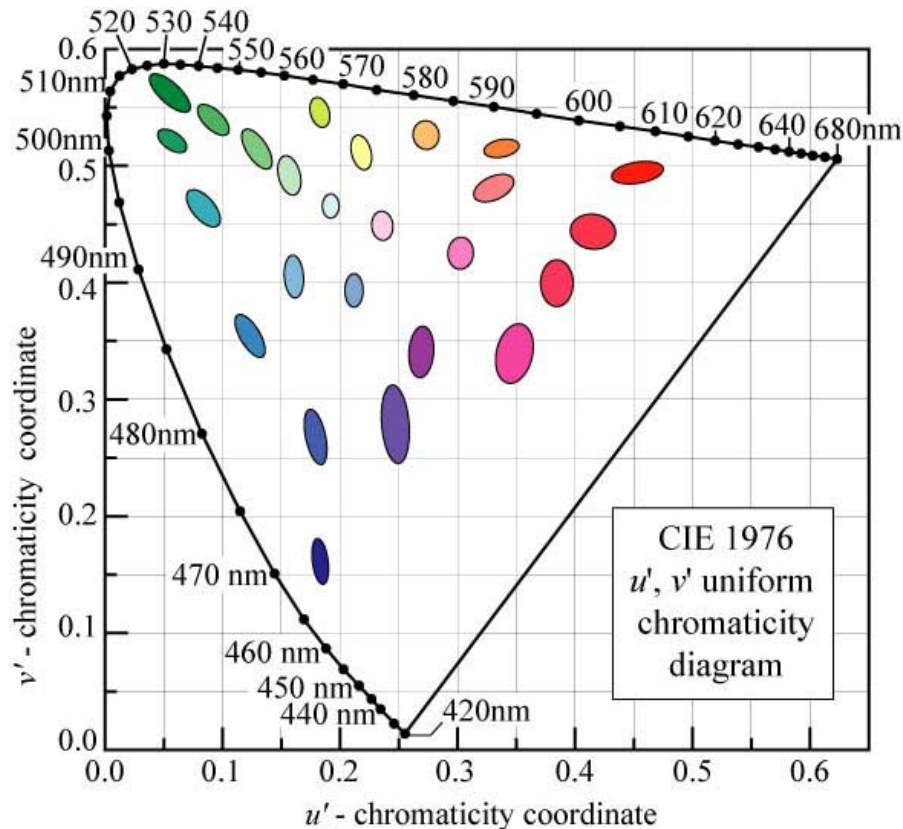
<sup>22</sup><https://ecse.rpi.edu/~schubert/Light-Emitting-Diodes-dot-org/chap17/F17-05%20MacAdam%20ellipses.jpg>

<sup>23</sup>(Greule 2014: 79-80)

Für diese Farbtafel werden die x und y Normfarbwertanteile so transformiert, dass die Farbabstände vereinheitlicht sind (Gleichung 4.9).

$$u' = \frac{4x}{-2x + 12y + 3} \quad v' = \frac{9y}{-2x + 12y + 3} \quad (4.9)$$

Es wurden also die Farbbereiche aneinander angeglichen und die Farbtafel hat sich gedreht. Dadurch ähneln die Farbabständen den real empfunden Abständen schon deutlich besser als im XYZ-Farbraum. Durch die Transformation sind auch die MacAdam Ellipsen deutlich kreisförmiger geworden (Abbildung 4.9).

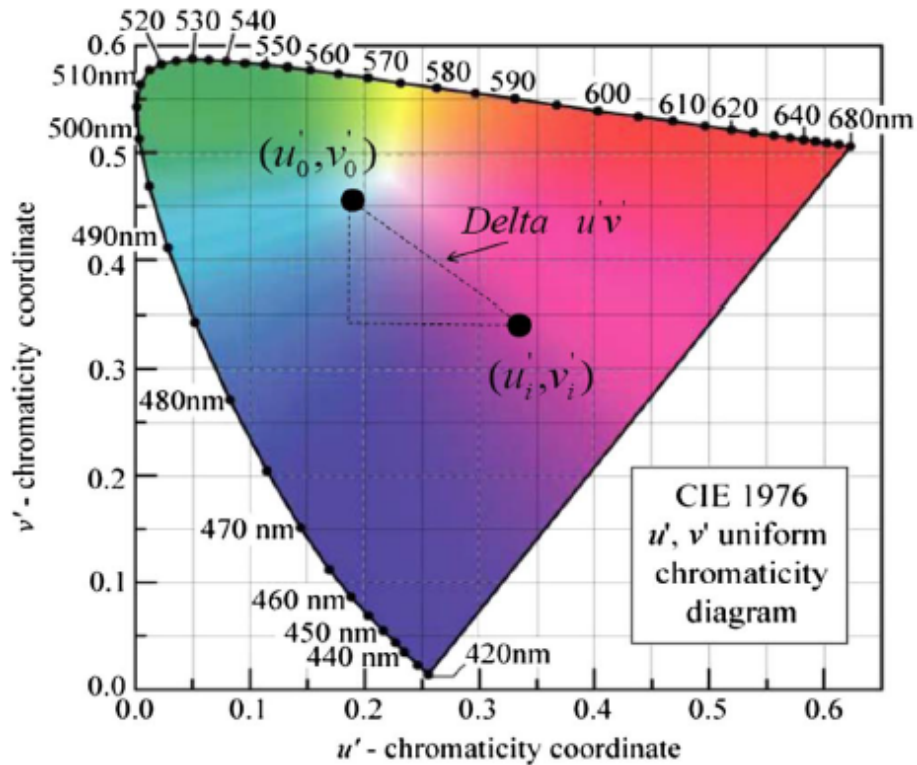


**Abbildung 4.9:** Abbildung der MacAdam Ellipsen auf der UCS-Farbtafel <sup>24</sup>

Durch die CIE-UCS Farbtafel ist auch der  $\Delta u'v'$  entstanden. Dieser Wert ist wie beim TLCI (Kapitel 5.3) ein Maß dafür, wie weit ein  $u'_i, v'_i$  - Farbort mit korrelierter Farbtemperatur x von dem Plank'schen Kurvenzug bei Farbtemperatur x ( $u'_0, v'_0$ ) entfernt ist<sup>25</sup> (Abbildung 4.10).

<sup>24</sup>[https://www.fktg.org/sites/default/files/sauter\\_bild\\_02.jpg](https://www.fktg.org/sites/default/files/sauter_bild_02.jpg)

<sup>25</sup>(Jiajie & Yung & Pecht 2014: 566)



**Abbildung 4.10:** Darstellung des  $\Delta u'v'$  auf der UCS-Farbtafel

Anhand des Wertes ist erkennbar, ob das gemischte Weiß grünstichig mit  $\Delta u'v' < 0$  oder magentastichig mit  $\Delta u'v' > 0$  ist (Gleichung 4.10).

$$\Delta u'v' = \sqrt{(du')^2 + (dv')^2} = \sqrt{(u'_i - u'_0)^2 + (v'_i - v'_0)^2} \quad (4.10)$$

Dieser Wert wird zur Einschätzung der Weißlichtqualität in Kombination mit einem Farbwiedergabewert zur Rate gezogen und ist daher auch bei den „Red Tail“-Messung von größerer Bedeutung. Eine Abweichung von  $\Delta u'v' < \pm 0.005$  ist für ein gutes weiß akzeptabel<sup>26</sup>.

Auf der UCS-Farbtafel lassen sich nur Farben gleicher Helligkeit miteinander vergleichen. Um Farben verschiedener Helligkeiten vergleichen zu können hat die CIE noch weitere dreidimensionale Farbräume bestimmt, die für die Red-Tail-Untersuchungen, aber keine größere Rolle spielen.

<sup>26</sup>Ohno (2005)

# 5 Lichttechnische Parameter

Es gibt mehr als vierzig verschiedene Methoden, um die Farbwiedergabe einer Leuchte zu beurteilen. In diesem Kapitel sollen die in der Medien- und TV-Branche typischen Farbwiedergabeindices vorgestellt und deren Relevanz für die Messung mit dem „Red Tail“ aufgezeigt werden.

## 5.1 CIE: Color Rendering Index (CRI)

Da der Farbort allein keine eindeutige Aussage über die Zusammensetzung des Spektrums zulässt, wurde 1965 von der Commission Internationale de l’Eclairage ein Testverfahren entwickelt, mit dem man die Farbwiedergabe (Color Rendering Index) einer Leuchte bestimmen kann. Dafür hat man acht Referenzfarben festgelegt. Bei einer CRI-Messung überprüft man also, wie gut eine Lichtquelle diese Körperfarben wiedergeben kann. Es wird dabei zwischen einem schwarzen Strahler ( $< 5000\text{K}$ ) und Tageslicht ( $> 5000\text{K}$ ) differenziert. Die gemessenen Unterschiede zu den Referenzfarben werden mit Werten von 0 bis 100 gewichtet ( $R_1$ - $R_8$ ), wobei ein Wert von 100 aussagt, dass die Farbe bestmöglich wiedergegeben wird. Zuerst werden die einzelnen Indexwerte  $R_i$  aus den Farbdifferenzen  $\Delta E_i$  berechnet (Gleichung 5.1)<sup>1</sup>.

$$R_i = 100 - 4,6 \cdot \Delta E_i \quad (5.1)$$

Diese acht Werte werden schließlich arithmetisch gemittelt und es ergibt sich der Gesamtwert  $R_a$  (Gleichung 5.2)<sup>2</sup>.

$$R_a = \frac{1}{8} \sum_{i=1}^8 R_i \quad (5.2)$$

In der DIN 6169 werden zur besseren Beurteilung der Farbwiedergabe die  $R_a$ -Werte in verschiedene Stufen unterteilt (Tabelle 5.1).

Ein hoher  $R_a$ -Wert beschreibt aber nur bedingt die Farbwiedergabe einer Leuchte, da beispielsweise keine Angabe über die Sättigung der Farben gemacht wird. Außerdem sind die acht Referenzfarben nur Pastelltöne, weil der CRI damals für Glühlicht entwickelt wurde. Gesättigte Farben fließen nicht in die Bewertung mit ein. Das wirkt sich auch auf die Vergleichbarkeit von Leuchten aus. Zwei Scheinwerfer mit dem selben

---

<sup>1</sup>Davis & Ohno (2006)

<sup>2</sup>Production Partner (2018)

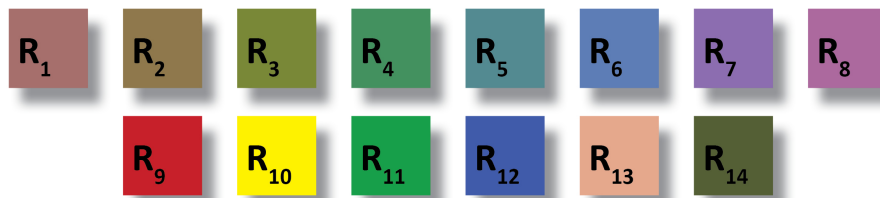
<sup>3</sup>(Hentschel 1993: 111)

Stufen des CRI		
1A	$R_a \geq 90$	sehr hohe Anforderung
1B	$90 > R_a \geq 80$	sehr hohe Anforderung
2A	$80 > R_a \geq 70$	hohe Anforderung
2B	$70 > R_a \geq 60$	hohe Anforderung
3	$60 > R_a \geq 40$	mittlere Anforderung
4	$40 > R_a \geq 20$	geringe Anforderung

**Tabelle 5.1:**  $R_a$  eingeteilt in verschiedene Stufen<sup>3</sup>

$R_a$ -Wert von 90 können sehr unterschiedliche Spektren haben und damit sehr unterschiedlich Farben darstellen, trotz gleichem Farbwiedergabeindex. Außerdem kann man nur schwer eine Aussage darüber machen, ob sich eine Leuchte mit einem guten CRI für Personenbeleuchtung eignet, weil Rottöne und Hauttöne in diesem Bewertungsverfahren fehlen.

Leuchtstofflampen nutzten den CRI aus, indem durch gezielte schmalbandige Peaks im Spektrum die Referenzfarben getroffen werden. Auf diese Weise kann zwar ein hoher CRI-Werte erreicht werden, aber kein breitbandiges und ausgefülltes Lichtspektrum entstehen. Daher sah sich die CIE gezwungen den Farbwiedergabeindex zu erweitern. In dem neueren  $R_e$ -Wert gibt es nun auch gesättigte Farben und eine Hautfarbe wird miteinbezogen (Abb. 5.1).

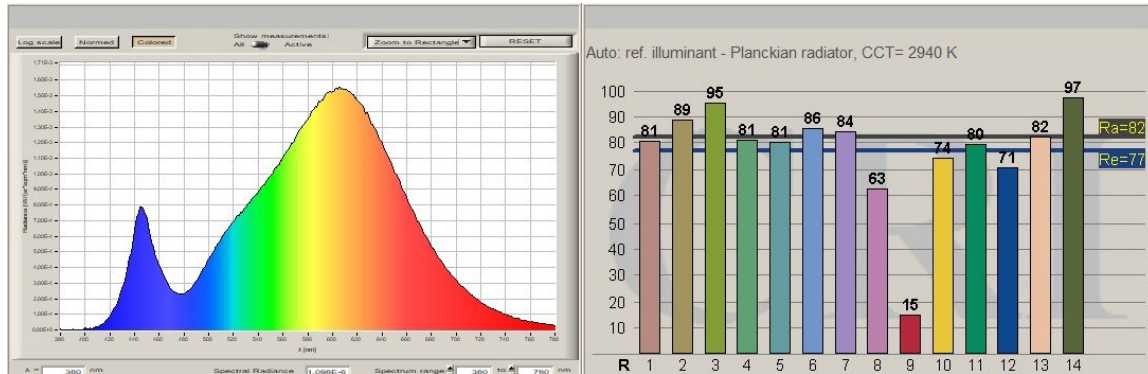


**Abbildung 5.1:** Alle Referenzfarben des Farbwiedergabeindexes:  $R_1$  Altrosa,  $R_2$  Senfgelb,  $R_3$  Gelbgrün,  $R_4$  Hellgrün,  $R_5$  Türkisblau,  $R_6$  Himmelblau,  $R_7$  Asterviolett,  $R_8$  Fliederviolett,  $R_9$  Rot gesättigt,  $R_{10}$  Gelb gesättigt,  $R_{11}$  Grün gesättigt,  $R_{12}$  Blau gesättigt und  $R_{13}$  Rosa (Hautfarbe),  $R_{14}$  Blattgrün<sup>4</sup>

<sup>4</sup>[https://www.elementalLED.com/wp/wp-content/uploads/2015/08/CRI\\_chart.jpg](https://www.elementalLED.com/wp/wp-content/uploads/2015/08/CRI_chart.jpg)



Bei einer warmweißen LED konnte ein CRI von 82 gemessen werden (Abbildung 5.2). Der  $R_e$ -Wert ist naturgemäß schlechter als der  $R_a$ -Wert, aber auch dieser ist mit 77 noch akzeptabel, wenn man bedenkt, dass der  $R_9$ -Wert nur 15 Punkte erbringt. Diese Leuchte entspricht „sehr hohen Anforderungen“ (Tabelle 5.1) und ist damit nach Definition sehr gut in der Farbwiedergabe. Jedoch ist der  $R_9$ -Wert ein Hinweis darauf, dass man mit dieser Aussage vorsichtig sein sollte.



**Abbildung 5.2:** Messung einer warmweißen LED-Leuchte (Ausschnitt aus dem Demofile des Programmes „LiVal“ von der Firma JETI): Links ist das Lichtspektrum der Leuchte dargestellt, rechts die gemessenen CRI-Werte <sup>5</sup>

Daher ist auch mit einem einzigen Rot- und Hautton der CRI zu wenig ausschlaggebend, um damit eine Leuchte für Personenbeleuchtung zu bewerten (Kap. 4.1). Zusätzlich entsteht bei LED-Leuchtmitteln ein ähnliches Problem, wie bei den Leuchtstoffröhren. Man kann das Spektrum mit den Peaks gut auf die Referenzfarben ausrichten, ohne das gesamte Spektrum abdecken zu müssen. Gerade bei LED-Leuchten kann dieses Verhalten des CRI ausgenutzt werden, um kritische Bereiche zu verschleiern. Zusätzlich wird dies durch die arithmetische Mittlung der Referenzfarbwerte begünstigt. Ein, zwei schlechtere Werte mindern den  $R_a$ -Wert nicht beträchtlich. Beispielsweise wird bei Weißen-LEDs der fehlende Rotanteil nur am niedrigen  $R_9$ -Wert sichtbar, aber im CRI-Wert sind diese Schwächen einer LED-Leuchte kaum erkennbar <sup>6</sup>. Der CRI kann daher eher als richtungsweisend betrachtet werden: Eine Leuchte mit guter Farbwiedergabe wird auch immer einen guten CRI-Wert haben. Zum Vergleich für Leuchten eignen sich andere Farbwiedergabewerte heutzutage besser <sup>7</sup>.

Aus diesen Gründen und der Erkenntnis der CIE, „dass die CRI-Methode generell nicht anwendbar ist, um eine Anzahl von Lichtquellen gemäß ihrer Farbwiedergabe einzuordnen, wenn weiße LEDs darunter sind“<sup>8</sup>, wird sich diese Arbeit hauptsächlich auf andere Farbwiedergabewerte konzentrieren, den CRI aber mit aufführen, weil

<sup>6</sup>Davis & Ohno (2006)

<sup>7</sup>Production Partner (2018)

<sup>8</sup>(Commission Internationale de l'Eclairage 2007: VI)

dieser in der Scheinwerfer- und Fernsehbranche (noch) einen hohen Stellenwert inne hat.

## 5.2 NIST: Color Quality Scale (CQS)

Der Color Quality Scale, der von dem National Institute of Standards and Technology (NIST) erarbeitet wurde, orientiert sich an der Grundidee des CRI und versucht dessen Probleme anzugehen und ihn zu ersetzen. So gibt es fünfzehn voll saturierte Referenzfarben, die auch auf LED-Leuchten anwendbar sind. Über Skaleneffekte soll der CQS auch indirekt eine Aussage über die Farbwiedergabe von Pastelltönen ermöglichen (Abb. 5.3).



**Abbildung 5.3:** Alle Referenzfarben des CQS mit voller Sättigung<sup>9</sup>

Bei dem Farbvergleich des CRI wurden weniger Punkte für eine Farbe vergeben, wenn diese übersättigt wurde, also die Leuchte eine höhere Farbigkeit hatte als das Referenzlicht des CRI. Wenn beispielsweise eine Oberfläche eines Objekts beleuchtet wird, kann eine übersättigte Farbe jedoch hilfreich sein und ist daher nicht pauschal negativ einzuordnen. Deswegen wertet der CQS eine Übersättigung der Farbe nicht, nur eine Abweichung von Farbton oder Helligkeit wird bestraft. Außerdem errechnet sich der CQS aus dem quadratischen Mittel (root-means-square) der einzelnen Farben und es ist deutlicher erkennbarer, wenn einzelne Farbe schlechte Werte erzielen (Gleichung 5.3)<sup>10</sup>.

$$\Delta E_{rms} = \sqrt{\frac{1}{15} \sum_{i=1}^{15} \Delta E_i^2} \quad (5.3)$$

Aus diesem Farbdifferenzwert wird ähnlich wie beim CRI (Gleichung 5.1) ein Farbwiedergabewerte errechnet (Gleichung 5.4).

$$Q_{f,rms} = 100 - 3,0305 \cdot \Delta E_{rms} \quad (5.4)$$

<sup>9</sup><https://www.lemoledlight.com/wp-content/uploads/2016/04/LED-Lighting-CRI-5.jpg>

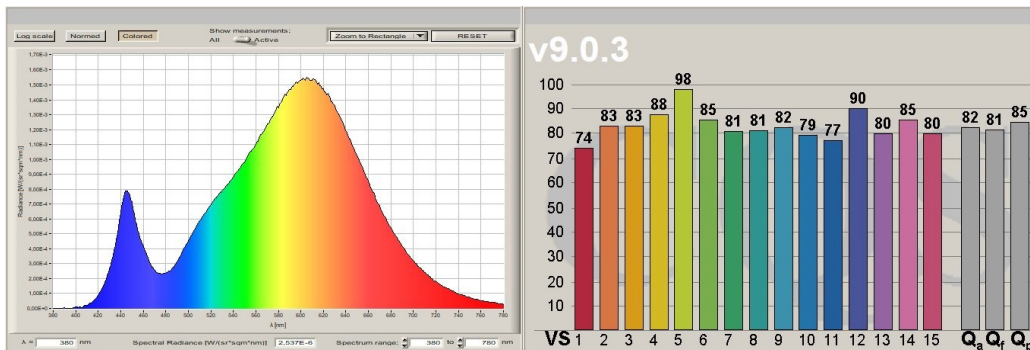
<sup>10</sup>Davis & Ohno (2006)



Schließlich wird der CQS auf Werte von 0 bis 100 skaliert. Dadurch entfallen beim CQS negative Farbwerte, die beim CRI sehr schwierig zu interpretieren sind (Gleichung 5.5).

$$Q_f = 10 \ln(e^{\frac{Q_{f,rms}}{10}} + 1) \quad (5.5)$$

Der CQS wird mit seinen fünfzehn Referenzfarborten (abhängig von der Farbtemperatur) im CIELAB-Farbraum eingezeichnet. Da die Abstände von Farborten in diesem Farbraum in etwa wahrgenommenen Farbunterschieden entsprechen (Kap. ??), kann man gut erkennen, wie stark sich die Farbwiedergabe einer Leuchte den Referenzwerten ähneln (Abb. 5.4 und 5.5).

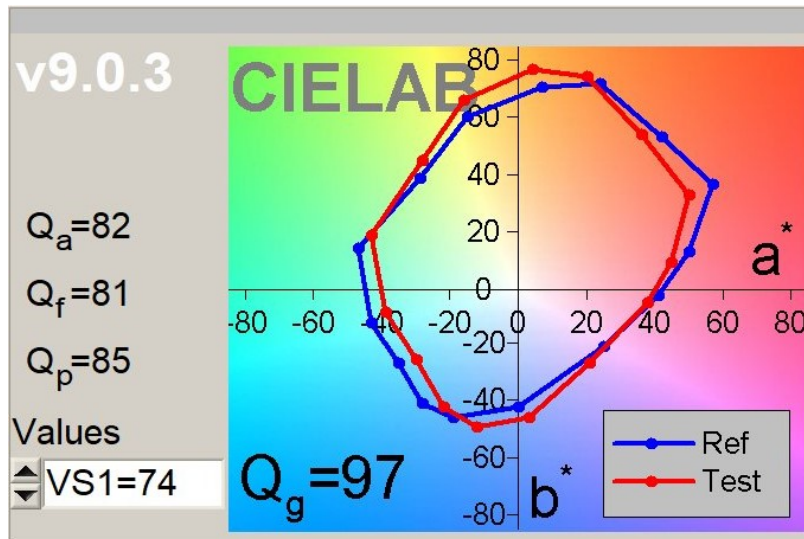


**Abbildung 5.4:** Ausschnitt aus dem Programm „LiVal“ von der Firma JETI: Demo Spektrum einer warmweißen LED (2942K) mit  $Q_f = 81$

Auf die in den Abbildung 5.4 und 5.5 erwähnten Werte  $Q_a$  (optimierter CQS-Wert für kaum übersättigte Farben),  $Q_p$  (optimierter CQS-Wert für viele übersättigte Farben) und  $Q_g$  (optimierter CQS-Wert im Zusammenhang mit dem Gamut Area Index) wird in dieser Arbeit nicht weiter eingegangen, weil sie über den Rahmen dieser Bachelorarbeit hinaus gehen<sup>11</sup>.

Da der CQS ähnlich wenige Referenzfarben nutzt wie der CRI, und keine besondere Aussage über die Farbwiedergabe von Hauttönen im TV-Bereich liefert, wird bei den Messungen dieser Arbeit das Hauptaugenmerk nicht auf dem CQS liegen. Der CQS eignet sich besser zur Einschätzung der Farbwiedergabe ohne Bezug zu einer TV-Kamera.

<sup>11</sup>(Khanh & Bodrogi & Vinh 2007: 60-62)



**Abbildung 5.5:** Ausschnitt aus dem Programm „LiVal“ von der Firma JETI: Die fünfzehn Referenzfarben (blau) im CIELAB-Farbraum im Vergleich zu den gemessenen Werten (rot)

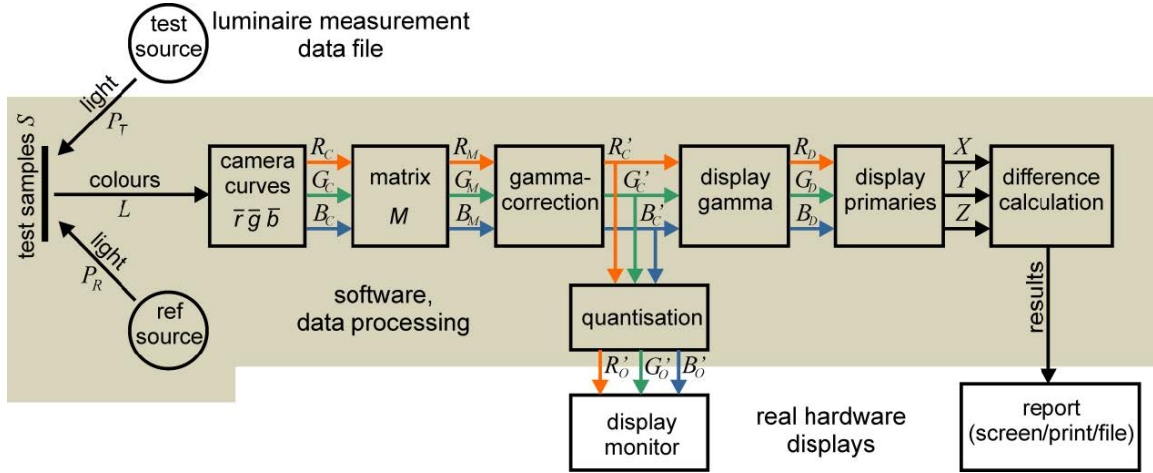
### 5.3 EBU: Television Lighting Consistency Index (TLCI)

Der CRI-Wert einer Leuchte ist im Fernsehbereich kaum aussagekräftig, weil kein Bezug zur Videokamera besteht und die Farbwiedergabe von menschlichen Hauttöne kaum gemessen wird. Daher hat die European Broadcast Union (EBU) 2012 einen neuen Farbwiedergabe bestimmt, der auf den Film- und Fernsehbereich zugeschnitten ist, den Television Lighting Consistency Index. Wie eine Messung des TLCI vonstattengeht ist in diesem Blockschaltbild der EBU verdeutlicht (5.6):

Die von der Kamera gefilmten Farben werden dann in einem Datenfile gespeichert. Die Daten werden analysiert, um die Farbtemperatur zu bestimmen und so die Referenzdaten zu erstellen.

Zur Ermittlung des TLCI wird eine Testtafel mit 24 Farben von einer „Standartkamera“ gefilmt. Diese Tafel wird von der zu testenden Leuchte bestrahlt. Die Kamera ist an einen „Standartbildschirm“ angeschlossen, auf dem die TLCI-Messsergebnisse angezeigt werden. Im ersten Schritt gewichtet die Kamera die reflektierten Farben mit ihren  $\bar{r}$ -,  $\bar{g}$ - und  $\bar{b}$ -Kamerakurven und die Farbtemperatur wird bestimmt. Die so entstandenen  $R_C$ ,  $G_C$  und  $B_C$ -Werte werden dann im zweiten Schritt farblich abgeglichen ( $R_{Cb}$ ,  $G_{Cb}$  und  $B_{Cb}$ ) und mit einer linearen Matrix M bewertet, um die Werte

<sup>12</sup>(Roberts 2015: 15)


 Abbildung 5.6: Blockschaltbild einer TLCI-Wertbestimmung <sup>12</sup>

des RGB-Signals zu erhalten .

$$\begin{bmatrix} R \\ G \\ B \end{bmatrix} = \begin{bmatrix} 1,182 & -0,209 & 0,027 \\ 0,107 & 0,890 & 0,003 \\ 0,004 & -0,134 & 1,094 \end{bmatrix} \begin{bmatrix} R_{Cb} \\ G_{Cb} \\ B_{Cb} \end{bmatrix} \quad (5.6)$$

Ein Weißabgleich wird vorgenommen und die RGB-Werte werden in einer zweiten Matrix verrechnet, damit die Sättigungswerte der Farben stimmen (Empfehlung der EBU: 90 % Sättigung). Im nächsten Schritt werden die  $R_M$ ,  $G_M$  und  $B_M$ -Werte der einzelnen Farben von der Gammakurve der Kamera vorverzerrt. Beim Bildschirm angekommen werden die  $R'_G'B'$ -Werte der Farben mit der Gammakurve des Bildschirms wieder entzerzt (Empfehlung der EBU:  $\gamma = 2,4$ ). Für die 24 Farben werden dann im vorletzten Schritt mit der XYZ()-Matrix die Farbkoordinaten X,Y und Z für den Bildschirm errechnet. Schließlich wird mit den Referenzenfarbwerten der selben Farbtemperatur die Farbunterschiede ermittelt (Gleichung 5.7).

$$\Delta E_a^* = \left( \sum_{i=1}^{18} (\Delta E_i^*)^4 \right)^{\frac{1}{4}} \quad (5.7)$$

Das Ergebnis wird als TLCI-Wert ausgegeben. Für optimale Werte wird mit  $k = 3,16$  (eine Tageslichtleuchtstoffröhre erreicht dabei den TLCI-Wert 50) und  $p = 4$  (für ein balanciertes Verhältnis zwischen hohen und niedrigen Werten) gerechnet<sup>13</sup> (Gleichung 5.8).

$$Q = \frac{100}{1 + \left( \frac{\Delta E^*}{k} \right)^p} \quad (5.8)$$

<sup>13</sup>(Roberts 2015: 16-22)

Der TLCI lässt wie der CQS keine negativen Ergebnisse zu (Kapitel 5.2) und die Werte von 0-100 sind für den Coloristen in der Nachbearbeitung des Videomaterials wie folgt zu deuten(Tabelle 5.2):

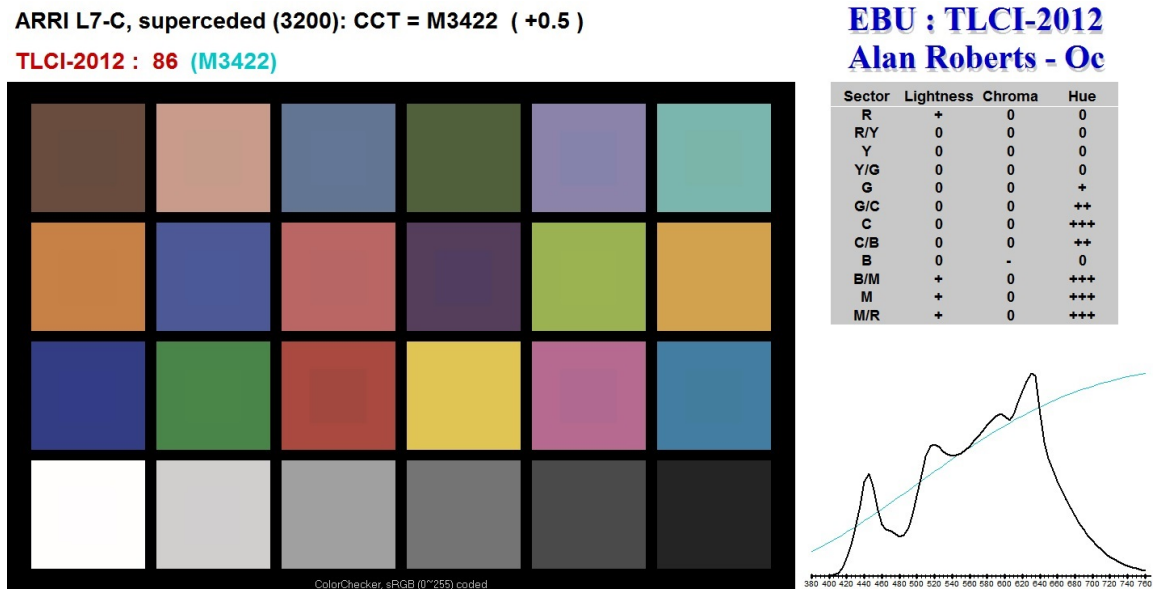
Abstufungen des TLCI	
$100 \geq Q_a \geq 85$	Farben korrigierbar bzw. nicht notwendig
$85 > Q_a \geq 75$	nach Korrektur noch akzeptabel
$75 > Q_a \geq 50$	Aufbereitung sehr zeitaufwendig
$50 > Q_a \geq 25$	nicht mehr zu retten - verbesserbar
$25 > Q_a \geq 0$	ist und bleibt nicht akzeptierbar

**Tabelle 5.2:**  $Q_a$  eingeteilt in verschiedene Stufen<sup>14</sup>

Anhand der Tabelle ist eine Art Kostenvergleich möglich, in dem die Farbwiedergabequalität einer Leuchte gegen den Nachbearbeitungsaufwand des Coloristen gegengerechnet werden kann. Der TLCI gibt sogar eine Empfehlung ab, an welchen Parametern der Colorist Verbesserungen vornehmen muss (Abbildung 5.7).

<sup>14</sup>Production Partner (2018)

Die Messung des TLCI-Werts ergibt ein Ergebnisprotokoll, bestehend aus drei Abschnitten: eine Farbtabelle mit den 24 Farbfeldern, eine Empfehlung für den Coloristen zur nachträglichen Bildbearbeitung und ein Vergleich von Referenz- und Testspektrum (Abbildung 5.7):



**Abbildung 5.7:** TLCI-Ergebnisprotokoll eines Arri L7-C LED Fresnelscheinwerfers<sup>15</sup>

Oben links ist der Name der Leuchte angegeben, die gemessene korrelierte Farbtemperatur (CCT) und die Abweichung vom Plank'schen Kurvenzug (??) mit einer Gewichtung von 0.0054 (Empfehlung EBU). Ist der Abweichungswert kleiner als -1 wird die Zahl in magenta dargestellt (magentastichtiges weiß), ist sie größer als +1, in grün (grünstichiges weiß). Im Beispiel ist die Zahl daher schwarz. Eine Zeile darunter steht der gemessene TLCI-Wert. Der Arri L7-C ist mit  $Q_a = 86$  in die beste Farbwiedergabekategorie einzuordnen (Tabelle 5.2).

Oben rechts ist eine Tabelle mit Korrekturwerten für den Coloristen angegeben. Für 12 verschiedene Farbtöne wird jeweils ein Verbesserungsvorschlag für die Helligkeit, die Sättigung und die Farbtonabweichung angegeben. Da es nicht möglich ist, die Abweichung der Werte mit exakten Zahlen zu definieren, werden mit „+“, „0“ und „-“ die verschiedenen Korrekturrichtungen aufgezeigt. Eine „0“ zeigt an, dass der Fehler zu klein ist, um ihn zu korrigieren. Die Anzahl der „+“ und „-“ wiederum ist ein Hinweis darauf, wie viel Aufwand der Colorist für die Anpassung benötigt. Der Arri L7-C hat beispielsweise Bedarf es vor allem im Bereich des Cyan, Blau/Magenta, Magenta und Magenta/Rot in der Farbtonabweichung einer Aufbesserung. Auch im Green/Cyan- und Cyan/Blau-Bereich sollte der Farbton angepasst werden. Die rest-

<sup>15</sup><https://tech.ebu.ch/tlci-2012>

lichen Verbesserungsvorschläge bei Helligkeit und Sättigung sollte der Colorist zügig bewältigen können.

Links unten ist eine Farbtafel mit den 24 Farben des TLCI sichtbar. Im großen Farbfeld ist die Farbe zusehen, wie das Licht des Arri L7-C diese Farbe wiedergibt. In der Mitte jeder Farbtafel ist ein kleineres Viereck, in dem die Referenzfarbe gezeigt wird. Je deutlicher also das Referenzviereck in dem Farbfeld zu sehen ist, desto schlechter ist die Farbwiedergabe der Testleuchte. Im Beispiel ist im roten Farbfeld zu erkennen, dass der Arri L7-C diese Farbe nicht so gut wiedergibt wie andere Farben.

Rechts unten ist auf dem TLCI-Ergebnisprotokoll das Referenzspektrum von 380nm bis 740nm Wellenlänge abgebildet (schwarz) und dazu wird das getestete Spektrum geplottet (cyan). In dieser Ansicht kann man gut erkennen, inwieweit das Licht des Arri L7-C das Referenzspektrum abdeckt <sup>16</sup>.

Der TLCI sieht die Farben wie eine Kamera und zieht sogar zwei Hauttöne mit in Betracht. Daher eignet sich dieser Farbwiedergabewert sehr gut für die Messung der Auswirkung eines Red Tail.

### 5.4 IES Method for Evaluating Light Source Color Rendition (TM-30-15)

Auch der TM-30 wurde 2015 von der „Illuminating Engineering Society“ (IES) ausgearbeitet um eine Alternative zum CRI zu finden. Wie beim CRI werden ebenso bei der Messung des TM-30 Farbunterschiede zwischen einer Testleuchte und Referenzwerten der selben korrelierten Farbtemperatur aufgezeigt. Der TM-30 differenziert ähnlich, ob es sich bei der Testleuchte um einen Plank’schen Strahler oder einem Tageslicht handelt. Zwischen einer CCT von 4500K und 5500K wird die Referenz proportional überblendet, um so zu verhindern, dass es bei 5000K einen „Sprung“ gibt. Bei dem CRI konnte es nämlich passieren, dass eine Leuchte 2 unterschiedliche Referenzen bekam, je nach dem ob diese knapp über oder unter 5000K bei der Messung lag. Die 99 Referenzfarben (Color Evaluation Sample) wurden aus einem Pool von 105.000 Farbtönen realer Objekte statistisch ermittelt (Abbildung 5.8). Damit alle Farbtöne gleichmäßig abgedeckt werden, wurde der CAM02-UCS-Farbraum, der für seine Gleichmäßigkeit der Farbaufteilung bekannt ist, in Würfel eingeteilt. Von jedem dieser Würfel wurde dann eine der Referenzfarben bestimmt, die so gewählt ist, dass die unterschiedliche Wahrnehmung der verschiedenen Wellenlänge minimal ist (Kapitel 4.1). Die große Anzahl der Referenzfarben verhindert, dass Leuchtenhersteller mit gezielten Peaks im Spektrum gute TM-30 Werte erreichen <sup>17</sup>.

---

<sup>16</sup>(Roberts 2015: 15)

<sup>17</sup>U.S. Department of Energy (2015)



**Abbildung 5.8:** Alle 99 Referenzfarben des TM-30<sup>18</sup>

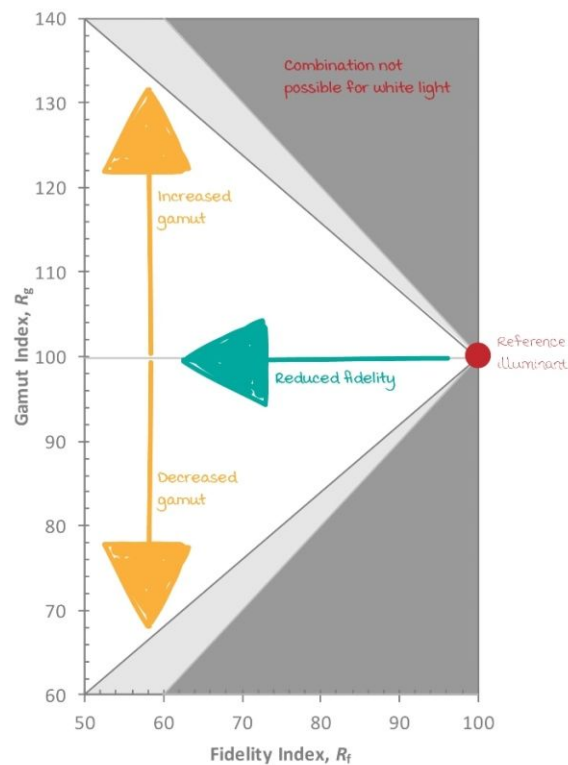
Im Gegensatz zum CRI spielen beim TM-30 zwei Werte eine große Rolle:  $R_f$  und  $R_g$ . Der  $R_f$ -Wert bildet analog zum  $R_a$ -Wert des CRI ein Mittel aus den neunundneunzig Farbunterschieden denen einen Wert von 0 - 100 zugeordnet wird. Auch der  $R_f$ -Wert zeigt nicht an, ob die Leuchte übersättigte Farben hat oder einen Farbshift<sup>(19)</sup>. Dazu wird der  $R_g$ -Wert gemessen. Dieser kann zwischen 60 und 140 variieren und zeigt so, ob die Farben übersättigt ( $R_g > 100$ ), untersättigt ( $R_g < 100$ )

<sup>18</sup><https://agustos.com/wp-content/uploads/2017/10/TM30-color-samples-image.png>

<sup>19</sup>(Royer & Houser 2015: 10)



sind oder mit dem Wert  $R_g = 100$  genau die Farben der Referenzleuchte (bei selbiger Farbtemperatur) treffen. Mit dem  $R_f$ - und  $R_g$ -Wert wird ein X,Y-Koordinatensystem aufgespannt (Abbildung 5.9). Aus diesem Diagramm sind Farbwiedergabeeigenschaften einer Leuchte sehr gut ablesbar. Durch den zusätzlichen  $R_g$ -Wert gibt es nicht mehr nur Leuchten mit „guter“ (hoher (hoher  $R_f$ )) oder „schlechter“ (niedriger  $R_f$ ) Farbwiedergabe. Zum Beispiel verliert eine Leuchte mit  $R_f = 82$  und  $R_g = 127$  gegenüber einer mit  $R_f = 90$  und  $R_g = 98$  nicht unweigerlich. Es kommt im direkten Vergleich viel mehr auf den Anwendungsfall an, in der die Leuchte gebraucht wird. Im sterilen Krankenhaus ist eine natürlich Farbwiedergabe wichtig, dort wäre die zweite Leuchte der Favorit, wohingegen für Superläden, in denen das Obst durch Übersättigung der Farben besser zur Geltung kommt, wäre die erste Lampe attraktiver. Daher ist der TM-30 viel flexibler zu deuten als der CRI, wo es immer nur um den höchsten  $R_a$ -Wert geht. Eine Möglichkeit könnte es sein, das X,Y-Koordinatensystem in verschiedene Bereiche(z.B. Fenster) einzuteilen, um so anwendungsspezifische Entscheidungen treffen zu können <sup>(20)</sup>.

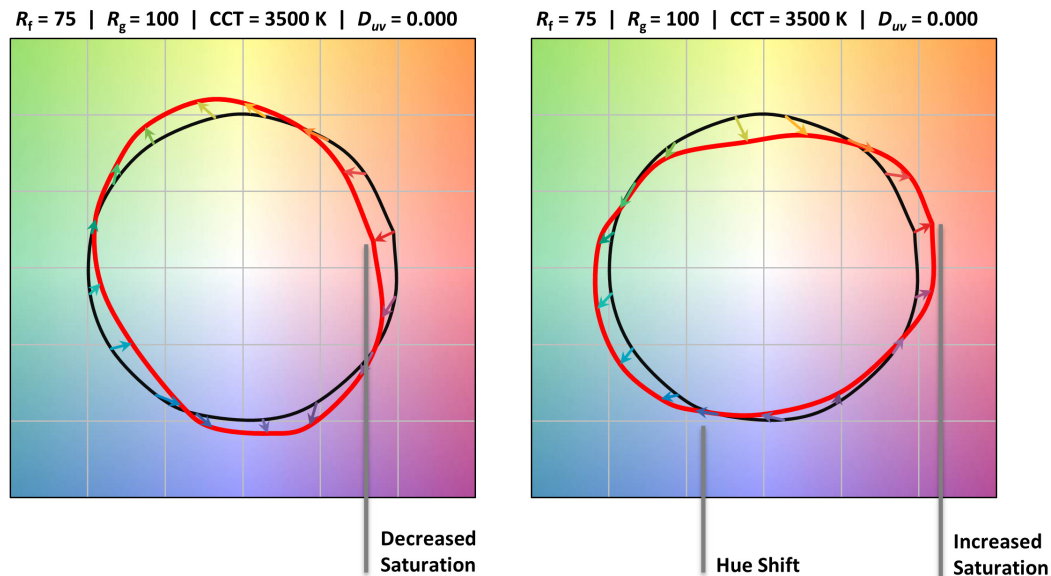


**Abbildung 5.9:** Koordinatensystem aus  $R_f$  und  $R_g$ : Die hellgraue Zone steht für TM-30-Werte die nicht auf der Plank'schen Kurve liegen und die dunkelgraue Zone steht für alle Werte, die nicht mehr als „weiß“ angesehen werden.  
21

<sup>20</sup>(Royer 2016: 4)



In einer anderen Darstellung des  $R_g$ -Wert ist zu sehen, dass der Farbraum in 16 verschiedene „binnings“ eingeteilt wurde. Jedes dieser „binnings“ steht übergreifend für die in diesem Bereich liegende Farbtöne. In dieser Darstellung wird mit Pfeilen aufgezeigt, welche Anteile im Farbraum fehlen, welche übersättigt sind und welche den Farbton nicht treffen im Verhältnis zur Referenzfarbwiedergabe (Abbildung 5.10).



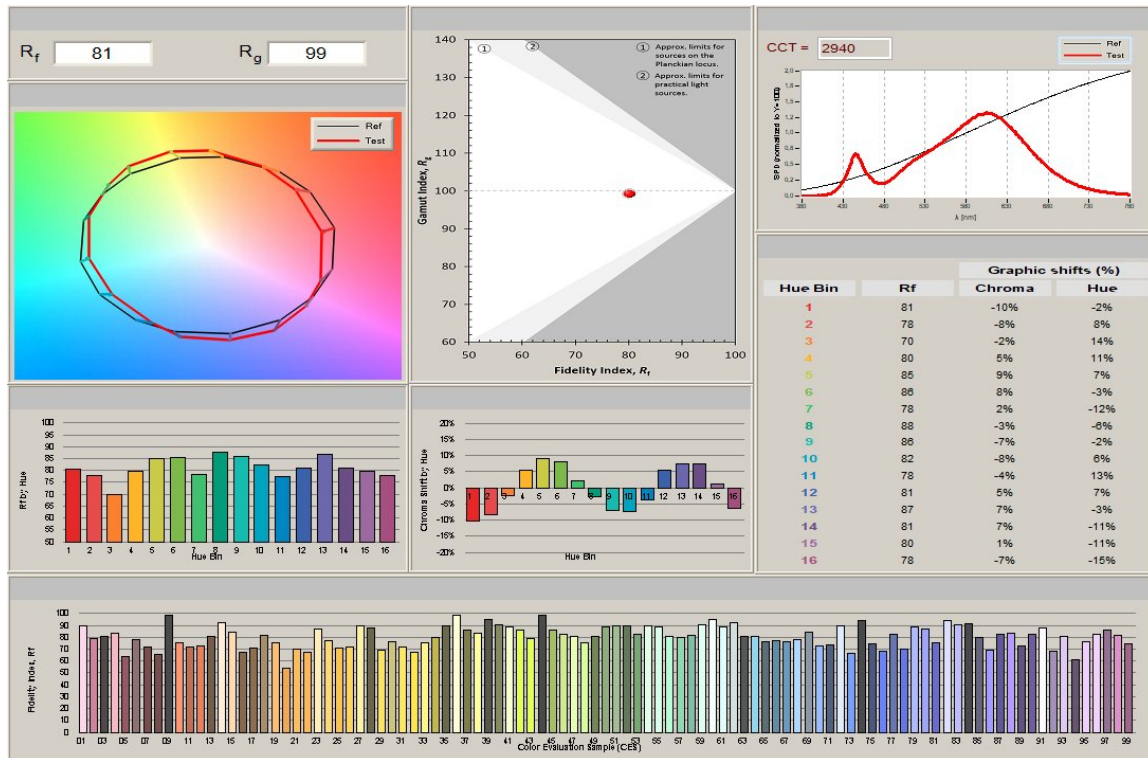
**Abbildung 5.10:** Wie sich die Farben der Testleuchte verhalten ist in der Vektorgraphik des  $R_g$ -Wertes anschaulich dargestellt. Der schwarze Kreis stellt die Referenzleuchte dar, der rote die getestete. <sup>22</sup>

Bei der Messung einer Demo warmweiß LED gibt es viel an Messergebnissen zu protokollieren (Abbildung 5.11): Links oben wird gemessene  $R_f$ - und  $R_g$ -Wert angezeigt. Darunter ist die Vektorgraphik des  $R_g$ -Wertes dargestellt und darunter werden die  $R_f$ -Werte der 16 Farbraum-„binnings“ in einem Säulendiagramm präsentiert. In der Mitte ist der TM-30-Wert in seiner Koordinaten Darstellung aufzufinden und darunter werden die farblichen Abweichungen (in Prozenten) in einem Säulendiagramm dargestellt. Rechts oben wird analog zum TLCI das Spektrum der Leuchte im Verhältnis zum Referenzspektrum gezeigt und die gemessene korrelierte Farbtemperatur angegeben. Darunter gibt es eine Tabelle wo die farblichen Abweichung der einzelnen „binnings“ als Zahlenwert angegeben werden. Schließlich findet man unter allem bisher genannten eine Säulendiagramm mit allen 99 Farben des TM-30. Das Ergebnis einer Messung ist mit diesen Daten nicht mehr schnell ersichtlich, wie beim CRI-Wert, hilft aber eine deutlich aussagekräftigere Entscheidung über eine Leuchte treffen zu können.

<sup>21</sup><https://i.pinimg.com/originals/18/98/de/1898de3bdd8436fb5a1945d72a4c6772.jpg>

<sup>22</sup>U.S. Department of Energy (2015)

## 5 Lichttechnische Parameter



**Abbildung 5.11:** Wie sich die Farben der Testleuchte verhalten ist in der Vektorgraphik des  $R_g$ -Wertes anschaulich dargestellt. Der schwarze Kreis stellt die Referenzleuchte dar, der rote die getestete. <sup>23</sup>

Der TM-30

## 6 Vormessungen

Das Ziel der Hauptmessung ist, das Licht eines 1kW Stufenlinsenscheinwerfers, der mit einem Rosco 027 „Medium Red“ , Rosco 787 „Marius Red“ oder Rosco 789 „Blood Red“ gefiltert wird, mit dem Licht verschiedener LED-Scheinwerfer additiv zu mischen und dem Spektrum des Testscheinwerfers einen „Red Tail“ anzuhängen. Dafür wird in den Vormessungen beobachtet wie stark dieser „Red Tail“ ausgeprägt sein muss und welche Filter sich für einen „Red Tail“ eignen. Als Beispiel wird der Clay Paky K-Eye K20 repräsentativ für Multichip LED-Scheinwerfer für Personenlicht genommen und der Martin MAC Encore Wash CLD als Gegenstück für reinweiße LED-Engine Scheinwerfer. Bei den Rottönen hat man bewusst darauf geachtet, dass sich diese am Rand des Spektrums befinden. Denn Ziel des „Red Tail“ ist es, dem Spektrum einen tiefroten Anteil anzuhängen, der nicht schon im gelb-orangen Spektralbereich beginnt und ab dort den gesamten Spektralbereich erhöht.

### 6.1 Aufbau und Messungen

Für die Messung wird der Scheinwerfer direkt neben dem folierten Stufenlinsenscheinwerfer platziert, um den Messfehler durch unterschiedliche Winkel der Scheinwerfer so gering wie möglich zu halten. Der JETI Specbos 1211, mit dem Standart Diffusor bestückt, wird als primäres Messgerät genutzt. Es wird aus 7m Entfernung direkt gemessen, damit man vergleichbare Helligkeiten erreicht (500lux).

Den Scheinwerfern wird dann in 10% Schritten das rotgefilterte Licht des Stufenlinsenscheinwerfers hinzugemischt. Die Farben des Scheinwerfers werden bei jedem Schritt erneut auf die gleiche Farbtemperatur und gleichem Abstand zum Plank'schen Kurvenzug gedreht, damit die Werte vergleichbar bleiben.

### 6.2 Fazit aus der Vormessung

Die Auswirkungen des „Red Tail“ wird vorallendingen in den TLCI-Werten sichtbar. Zusätzlich sind auch leichte Tendenzen bei den CQS-Werten und den TM-30-Werten bemerkbar. Wenn man dem K-Eye K20 ein zusätzliches Rosco 027 „Medium Red“ dazumischt, dann ist der „Red Tail“ ab 20% gesättigt. Mit 50% zusätzlichem Rot sind die Farbwiedergabewerte so niedrig, dass der „Red Tail“ eine Verschlechterung des Scheinwerfers darstellt. Dies ist eine Folge aus dem Angleichen des Scheinwerferspektrums mit einem größeren „Red Tail“ . Das zusätzliche Rot muss jedes mal mit

den Farben des Scheinwerfers ausgeglichen werden, um dasselbe 6000k-Weiß zu erhalten. Abhängig von diesem neuen Mischverhältnis mit dem „Red Tail“ ergibt sich entweder ein Spektrum, dass durch das Rot und die ausgleichenden Farben bereichert wurde, oder das Spektrum wurde durch die stetig größer werdenden Peaks und Einbuchtungen verzogen.

Mit dem Rosco 787 „Marius Red“ sind analog zum 027 Filter dieselben Tendenzen erkennbar, außer dass die Sättigung des „Red Tail“ erst bei 30% erreicht ist. Der Rosco 789 „Blood Red“ Filter hingegen zeigt ein anderes Bild. Ab 30% tritt auch hier die Sättigung des „Red Tail“ ein. Eine weitere Erhöhung des zusätzlichen Rotes ändert aber weder die Farbwiedergabewerte, noch machen sie eine größere Anpassung der Farben des K-Eye K20 nötig. Dieses Verhalten ist daher zu erklären, dass der Transmissionsgrad des Rosco 789 „Blood Red“ Filters  $Y = 1,2\%$  beträgt, also nur 1,2% des Lichts der Stufenlinsen durchlässt. Dieser selbst gebaute „Red Tail“ ist mit der Leistungsklasse eines 1kW-Leuchtmittel zu dunkel, um über den Sättigungspunkt hinauszukommen.

Für den Mac Encore CLD Wash kann man mit dem Rosco 027 „Medium Red“ eine ähnliche Tendenz wie bei dem K-Eye K20 feststellen. Ab 40% kann man von einer Sättigung des „Red Tail“ reden. Der Rosco 787 „Marius Red“ Filter liefert erst bei 70% eine Sättigung und zeigt so, dass schon dieser Rotton zu dunkel ist, um die Sättigungswert zu überschreiten. Weil der Rosco 789 „Blood Red“ Filter noch dunkler als der 787 Filter ist und dieselben Tendenzen wie alle zusätzlichen Rottöne liefert, wird dieser Rotton nicht in den Hauptmessungen verwendet.

Die Tendenzen zeigen, dass der „Red Tail“ vorallendingen den TLCI verbessert und den Scheinwerfern ein besseres kaltweißes Spektrum ermöglicht. In der Hauptmessung wird sich zeigen, wie sich der zusätzliche tiefrote Anteil auf andere Scheinwerfer auswirkt.

### 6.3 Referenzlicht

Als Referenzlicht ist der Arri Sun 5 mit einem frischen Leuchtmittel bestimmt worden, damit man die LED-Scheinwerfer an dieses Spektrum angeleichen kann. Dieser Scheinwerfer soll durch Abstand und Zoom auch auf eine Beleuchtungsstärke von 500lux gebracht werden. Bei einem größtmöglichen Abstand von 10m ist das nur über den maximalen Zoom des Scheinwerfers möglich. Dies hat zur Folge, dass das Leuchtmittel selbst über den Reflektor des Scheinwerfers gespiegelt und „rückprojiziert“ wird, dass dadurch ein dunkler Bereich in Mitten des Lichtkegels entsteht. Da man das Referenzspektrum nicht verfälschen möchte, wird bei dem Referenzlicht auf jegliche Art von Filtern verzichtet. Unter diesen Umständen kann der Arri Sun 5 nicht als Referenzlampe genutzt werden.

Daher wird in der Hauptmessung ein Arri True Blue D5 genutzt, der innerhalb von 10m, mit dem Zoom auf 500 lux angepasst, ein gutes Referenzlicht liefert, allerdings ca. 600K wärmer als der Arri Sun 5 ist. So kommt es, dass die Vormessungen auf

## 6 Vormessungen

6000K, die Hauptmessung jedoch auf 5400K eingemessen sind. Da nur die Tendenzen der Vormessung eine Rolle spielen und die Vormessung keine direkte Einwirkung auf die Hauptmessung hat, ist dieser Unterschied zu vernachlässigen.

# 7 Hauptmessung

Für die Hauptmessungen werden vier Scheinwerfer mit Multichip-LED Engine und zwei Scheinwerfer mit reinweißer LED-Engine ausgewählt. Bei den Multichip-Scheinwerfer ist der zuvor genannte Clay Paky K-Eye K20, mit 6 verschieden farbigen LEDs, dabei, als Alternative, der Robe Robin D17F Wash, mit 7 verschieden farbigen LEDs, und der weltweit verbreitete ETC Source Four LED Series 2 Lustr, ebenfalls mit 7 verschieden farbigen LEDs. Dazu kommt eine weiterer „Standartscheinwerfer“ aus dem TV-Bereich: der GLP Impression X4 in der „L“ - Variante. Dieser verfügt über eine rote, grüne und blaue, wie eine weiße LED in seinen LED-Arrays. Weiterhin gab es noch den Martin MAC Encore CLD Wash speziell für die Personenbeleuchtung ausgelegt mit einer reinweißen LED-Engine und den Ayrton Ghibli, ebenfalls mit einer reinweißen LED-Engine, als Beispiel für einen LED-Effektscheinwerfer. Mit diesen Scheinwerfern soll die Auswirkung eines „Red Tail“ überprüft werden.

## 7.1 Messaufbau und Messungen

Der Messaufbau gleicht dem der in der Vormessung (Kapitel 6.1). Mit 7m Abstand werden die Scheinwerfer zum Messgerät aufgebaut und über Zoom- und Abstandsvariation auf ca. 500 lux Beleuchtungsstärke eingestellt, nachdem sie auf das Arri D5-Referenzweiß abgeglichen worden sind. Es wird wiederum mit dem JETI specbos 1211 mit dem Standarddiffusor gemessen und mit dem UPRtek M350S gegenkontrolliert. Alle Scheinwerfer werden so nahe wie möglich an den 1kW Stufenlinsenscheinwerfer mit den roten Filterfolien herangestellt, um den Fehler der verschiedenen Winkel so gering wie möglich zu halten. Der zu messende Scheinwerfer ist dabei im rechten Winkel zum Messgerät angeordnet, der Stufenlinsenscheinwerfer leicht angewinkelt.

Jeder Scheinwerfer wird also auf eine Farbtemperatur von 5395K des Referenzlichts eingestellt, mit einem möglichst geringen Abstand zur Plank'schen Kurve ( $\Delta u'v' = \pm 0,0001$ ) und einem sehr ähnlichem Farbort, um die Messungen vergleichbar zu machen. Wenn dem Scheinwerfer ein „Red Tail“ hinzugemischt wird, wird der Scheinwerfer erneut auf die Referenz angeglichen.

## 8 Messergebnisse

Die Tendenzen zeigen, dass der Ghibli, MAC Encore, Lustr und K-Eye K20 durch den Red Tail verbessert wurden. Wie in den Vormessungen zu sehen, zeigt sich dies in allen Farbwiedergabewerten, vorallendingen aber im TLCI. Der MAC Encore kann mit einem Rosco 027 „Medium Red“ im TLCI sogar um 16 Punkte verbessert werden. Diese Scheinwerfer zeigen, dass der zusätzliche „Red Tail“ eine Verbesserung des Spektrums darstellt, unabhängig davon, welches zusätzliches rot genutzt wird.

Die Erklärung liegt hier wie in der Vormessung an den beiden Vorteilen des „Red Tail“ : Es wird auf der einen Seite der tiefrote Bereich der Scheinwerfer aufgefüllt und zum anderen werden zum Ausgleich des zusätzlichen tiefroten Anteils wieder wertvolle Anteile in der Mitte des Spektrums dazugemischt. Spannend ist, dass beim Clay Paky K-Eye K20 nur der TLCI verbessert werden konnte. Dies hängt damit zusammen, dass dem K-Eye K20 mit „Red Tail“ deutlich weniger Amber zur Verfügung steht und der 645nm Rot-Peak in die Höhe schießt. Das Spektrum wird also unausgeglichener und dafür von den Farbwiedergabewerten bestraft.

Der Impression X4L konnte nicht durch ein zusätzliches rot verbessert werden. Dies liegt daran, dass das Spektrum, des X4Ls vorallendingen aus schmalbandigen Peaks besteht, die das Spektrum nicht ausfüllen. Zusätzlich kann man mit der blauen LED, das Spektrum nicht weiter ausfüllen, da der Peak der weißen LED exakt mit dem der blauen LED übereinstimmt. Auch ein Angleichen des Spektrums mit einem „Red Tail“ verbessert diese extreme Spektrum nicht, sondern vergrößert das spektrale Tief im 595nm Wellenlängenbereich sogar. Ein aufgefülltes Spektrum kann also mit einem „Red Tail“ bereichert werden, während man bei einem schmalbandigen Spektrum für eine Auffüllung der Randbereiche nicht belohnt wird.

Bei dem Robe Robin DL7F haben wir im High-CRI Modus auch keine Verbesserung mit einem „Red Tail“ erzielen können. Das Spektrum des Robin DL7F ist durch viele Peaks und Täler gekennzeichnet und damit schmalbandig. Außer im Bereich von 510nm-550nm Wellenlänge wo das Spektrum sehr breitbandig ist. Durch Angleichungen an den „Red Tail“ wird das Lime vermindert, das Tal im gelben Spektralbereich noch tiefer und der rot Peak wird erhört. Das Spektrum wird also noch mehr in seine Extreme verzerrt und dass wird von den Farbwiedergabewerten bestraft.

### 8.1 Analyse der Farbwiedergabewerte

Die Farbwiedergabewerte haben unterschiedlich stark auf den „Red Tail“ reagiert. Der TLCI zeigt dabei stets den größten Ausschlag mit bis zu 16 Punkten, CQS und TM-

30 erhöhen sich höchsten um 5 Punkte. Dies verwundert bei einem TM-30, der mit seinen 99 Farben folglich keine tiefrote Referenz besitzt. Jedoch ist die Verbesserung des Rotanteils stets im roten „binning“ zu erkennen(s. Kap. 5.4). Ebenso ist im CQS am 1. Referenzwert der dazugekommene

## 8.2 Fazit aus den Hauptmessungen

Aus den Hauptmessungen lässt sich schließen, dass der „Red Tail“ tendenziell die Scheinwerfer verbessert. Am deutlichsten ist dies stets im TLCI zu erkennen, es macht sich aber ebenso im CQS, wie im TM-30 bemerkbar. Die Verbesserung ist einmal durch den zusätzlichen tiefroten Anteil im Spektrum zu erklären und dadurch, dass das Spektrum mit diesem neu angepasst wird. Bei Scheinwerfern mit schmalbandigen Spektren führt der Red Tail dazu, dass die Spektren noch extremer werden (größere Peaks, größere Täler) und so können die Farbwiedergabewerte nicht verbessert werden. Ein zu großer „Red Tail“ ist nicht zu empfehlen, da es die Farbwiedergabewerte des Scheinwerfers wieder verschlechtern würde (siehe Kap. 6.2). Daher sollte für jeden Scheinwerfer ein „Red Tail“ individuell ausbalanciert werden.



# 9 Umfrage

## 9.1 Anpassung der Scheinwerfer

Der nächste Schritt ist, auch über eine Kamera zu prüfen, welche Auswirkung der „Red Tail“ auf das Spektrum der Scheinwerfer hat. Dazu sollen Probanden verschiedener Hauttöne mit und ohne „Red Tail“ beleuchtet werden und dabei mit einer Kamera abgefilmt werden. Die so entstandenen Bilder werden dann in einer Umfrage miteinander verglichen.

Da eine Kamera das Spektrum eines Scheinwerfer deutlich anders bewertet als der JETI specbos 1211 (s. Kap ), gibt es drei Möglichkeiten fortzufahren:

1. Weißabgleich durch Scheinwerfer: Man gleicht die Kamera auf das Referenzweiß des Arris ab und dreht alle Farben der Scheinwerfer so hin, dass diese in der Kamera weiß erscheinen.
2. Weißabgleich durch Kamera: Man gleicht für jedes Bild die Kamera neu auf den Scheinwerfer an.
3. kein Weißabgleich: Man gleicht die Kamera auf das Referenzweiß des Arris ab und verwendet danach die Farbwerte der Scheinwerfer, so wie sie mit dem JETI specbos 1211 hingedreht worden sind.

Variante 1 macht den Bezug zu den Messwerten des JETI specbos 1211 kaputt, da die auf die Kamera angepassten Scheinwerfer dann nicht mehr die selbe Farbtemperatur, den selben Abstand zu Plank'schen Kurve oder einen ähnlichen Farbort haben. Variante 2 erhält diese Werte, aber es kann nicht mehr wissenschaftlich beschrieben werden, welche Veränderung die Kamera durch den Weißabgleich am Spektrum vornimmt. So kann nicht mehr unterschieden werden, ob die Kamera nun aus dem Licht das natürlichere weiß gemacht hat, oder dies tatsächlich eine Auswirkung des „Red Tail“ ist. Variante 3 ist abzulehnen, weil die vermeintlich gleichen Lichtverhältnisse durch den JETI specbos 1211 gemessen durch die Kamera nicht als ähnliches weiß gesehen werden. Die Spektren der Scheinwerfer sind sehr unterschiedlich und werden daher auch von der Kamera so wahrgenommen.

Der Vollständigkeit halber werden alle 3 Varianten aufgezeichnet. Für die Umfrage hat man sich für die erste Variante entschieden, da ein typischer Weißabgleich im TV-Bereich genauso abläuft. Zuerst wird ein Scheinwerfer als Referenzlicht bestimmt und alle anderen Scheinwerfer werden mit der Kamera auf dieses Weiß korrigiert.

Zu Demonstrationszwecken wird mit dem Mac Encore Wash CLD und dem K-Eye K20 mit einer Farbtafel aufgezeichnet. Über ein Vektorskop ist deutlich sichtbar, was die verschiedenen Varianten für Auswirkungen auf die Farben in der Kamera haben. Dies ist jedoch für diese Arbeit irrelevant und wird an dieser Stelle nicht weiter ausgeführt.

### 9.2 Auswahl der Kamera und der Probanden

Die Kamerawahl trifft auf eine Sony HDC-4300 UHD mit Weitwinkelobjektiv. Diese Kamera nutzt drei Bildwandler und keinen Bayer-Sensor. Bei einem Bayer-Sensor wird das Bild in 50% Grünanteil 25% Rotanteil und 25% Blauanteil aufgeteilt. Nur diese Farbanteile werden vom Sensor gespeichert, die restlichen 50% Grünanteile und 75% Rot- und Blauanteile des Bilders werden aus den Nachbarpixeln interpoliert. Die Folge daraus ist eine niedrigere Farbauflösung als mit 3 Bildwandlern<sup>1</sup>. Da die Bilder auf ihre Farbigkeit verglichen werden sollen, wird sich bewusst für eine Kamera mit drei Bildwandlern entschieden.

Die Probanden werden nach möglichst unterschiedlichen Hauttönen ausgewählt. Leider sind am Aufnahmetag nicht alle Probanden erschienen und daher ist die Bandbreite der Hauttöne nicht so groß wie erhofft, aber dennoch aussagekräftig genug, um die Auswirkung des Red Tail beurteilen zu können. Denn nach Khan (Kap.) ist jeder Hauttyp stark im roten Spektralbereich vertreten. Die Probanden haben einen nor-dischen, einen südländischen, einen normalen und einen braun-gebrannten Hauttyp.  
/

### 9.3 Erstellung der Bilder

Bei der Erstellung der Bilder werden die Probanden auf selber Augenhöhe nebeneinander gestellt. In der Mitte steht eine Graustufenkarte für den Weißabgleich. Nachdem die Scheinwerfer und Kamera angepasst sind, wie in Kapitel 9.1 beschrieben, werden die Probanden für 10 Sekunden gefilmt. Dabei wird am Anfang der Aufzeichnung ein Tablet mit den aktuellen Einstellungen der Scheinwerfer und Kamera gezeigt, damit später die Daten eindeutig zugeordnet werden können.

Nach den Aufzeichnungen mit den Probanden wird, nochmal die Graustufenkarte für jede Einstellung einzeln aufgezeichnet, damit man auf dem Waveformmonitor das Weiß der Scheinwerfer messen kann. Durch diesen Ablauf sind Messungenauigkeiten bei der Aufzeichnung des Waveformmonitors möglich.

---

<sup>1</sup>(Schmidt 2000: 380-381)

## 9.4 Umfrage nach Rec. ITU-R BT.500-11

In der „Recommendation ITU-R BT.500-11: Methodology for the subjective assessment of the quality of television pictures“ werden verschiedene Vorgehensweisen beschrieben, wie man die Qualität von Fernsehbildern durch Umfragen einschätzen kann. Je nach dem welches Bildmaterial man zur Verfügung hat und welche Aussage man untersuchen möchte, empfiehlt die ITU-R eine andere Methode. Da der Arri D5 zwar die Referenzleuchte für den Weißabgleich ist, aber die Scheinwerfer nicht mit diesem verglichen werden soll, wird entschieden, nach der „Ratio-scaling method“ vorzugehen<sup>2</sup>, eine Methode ohne Referenz. Diese findet man wiederum in dem „Report ITU-R BT.1082“ von 1990 und funktioniert wie folgt: Den Probanden werden in zufälliger Reihenfolge Bilder gezeigt. Jedes Bild soll nach dessen Qualität beurteilt werden. Dabei wird den Probanden aber keine Skala zur Bewertung vorgegeben. Der Proband entscheidet selbst, wie er seine Skala wählt. Dazu vergibt er dem ersten Bild einen ersten Eindruck in einer Zahl ausgedrückt. Je nachdem ob ihm das darauffolgende Bild besser oder schlechter befindet, wählt er die Zahl für das zweite Bild größer, kleiner (oder gleich) der ersten Zahl. Bei der Skalierung sind dem Probanden keine Grenzen gesetzt. Wenn er ein Bild dreimal so gut wie das erste befindet, kann er dem Bild den dreifachen Wert des ersten Bildes geben. Falls Bild Nummer drei zwischen der Qualität von Bild eins und zwei liegt, darf der Proband auch mit Brüchen oder Nachkommastellen einen Wert zwischen der Zahl ein und zwei finden. Der Vorteil dieser Methode ist, das die Probanden nicht an eine vorgegebene Skala gebunden sind und mit dieser nur bestimmen, wie gut Bilder sind, sondern mit dieser freien Skala auch festlegen können, um wie viel ein Bild besser oder schlechter ist<sup>3</sup>. Um die Bewertung der Bilder verschiedener Probanden nun miteinander vergleichen zu können, müssen die vergebenen Zahlen  $x$  auf die beste Bewertung  $R_1$  des Probanden normiert werden<sup>4</sup> (Gleichung 9.1).

$$X_{norm} = x \cdot \frac{100}{R_1} \quad (9.1)$$

Da die Probanden nur Tendenzen mit ihren Zahlen aufzeigen, sind die einzelnen Werte  $X_{norm}$  der Bilder in der Auswertung der Umfrage nicht exakt vergleichbar, sondern nur mit ihr Tendenz zu den anderen Bildern vergleichbar.

## 9.5 Aufbau und Durchführung der Umfrage

Aufbau der Umfrage erklären Bildschirm eingemessen auf 100 cd/m<sup>2</sup> 6504K bzw. mehr Umgebungslicht mit Arri L7-C

20 Probanden a 15min

---

<sup>2</sup>(ITU-R 2002: 10)

<sup>3</sup>(ITU-R 1990: 386)

<sup>4</sup>(ITU-R 1990: 387)

# 10 Umfrageergebnisse

Scheinwerfer mit rot erscheinen natürlicher sonderrolle GLP X4L zu rötlich problem  
dl7f red tail macht bilder nicht röter .. sondern natürlicher Bezug zu Kahn Tabellen-  
kurve zeigen

# 11 Auswertung aller Ergebnisse

Sowohl im messtechnischen als auch im physiologischen Vergleich konnte mit red tail das Licht verbessert werden TENDENZ ausnahmen glp / dl7f

## 11.1 Unterkapitel mit Mathematik, Bildern und Querverweisen

# **12 Fazit**

## **12.1 Unterkapitel mit Mathematik, Bildern und Querverweisen**

# Abbildungsverzeichnis

4.1	Die $V(\lambda)$ -Kurve zeigt, wie das Auge die verschiedenen Wellenlänge beim photopischen Sehen gewichtet. Die weiße Kurve ( $V'(\lambda)$ ) beschreibt, wie sich das Farbsehen beim Nachtsehen verschiebt. <sup>1</sup>	9
4.2	Darstellung der „Zonentheorie“ von v. Kries <sup>2</sup>	10
4.3	Die drei Grundfarben Rot, Grün und Blau der additiven Farbmischung ergeben zusammen weiß (unbunt). <sup>3</sup>	11
4.4	Die drei Grundfarben Cyan, Magenta und Gelb der subtraktiven Farbmischung ergeben zusammen schwarz (unbunt). <sup>4</sup>	12
4.5	Beim RGB-Würfel werden alle Primärvalenzen R,G, B als gleich lange Vektoren angenommen. <sup>5</sup>	14
4.6	Darstellung der CIE-XYZ Farbtafel eines 22° Normalbeobachter. Diese Bezeichnung entstammt aus den Tests von Wright und Guild. <sup>6</sup>	16
4.7	Zoomansicht des XYZ-Farbraumes mit den „Geraden ähnlichster Farbtemperatur“ <sup>7</sup>	17
4.8	Abbildung der MacAdam Ellipsen im XYZ-Farbraum <sup>8</sup>	18
4.9	Abbildung der MacAdam Ellipsen auf der UCS-Farbtafel <sup>9</sup>	19
4.10	Darstellung des $\Delta u'v'$ auf der UCS-Farbtafel	20
5.1	Alle Referenzfarben des Farbwiedergabeindex: $R_1$ Altrosa, $R_2$ Senfgelb, $R_3$ Gelbgrün, $R_4$ Hellgrün, $R_5$ Türkisblau, $R_6$ Himmelblau, $R_7$ Asterviolett, $R_8$ Fliderviolett, $R_9$ Rot gesättigt, $R_{10}$ Gelb gesättigt, $R_{11}$ Grün gesättigt, $R_{12}$ Blau gesättigt und $R_{13}$ Rosa (Hautfarbe), $R_{14}$ Blattgrün <sup>10</sup>	22
5.2	Messung einer warmweißen LED-Leuchte (Ausschnitt aus dem Demofile des Programmes „LiVal“ von der Firma JETI): Links ist das Lichtspektrum der Leuchte dargestellt, rechts die gemessenen CRI-Werte <sup>11</sup>	23
5.3	Alle Referenzfarben des CQS mit voller Sättigung <sup>12</sup>	24
5.4	Ausschnitt aus dem Programm „LiVal“ von der Firma JETI: Demo Spektrum einer warmweißen LED (2942K) mit $Q_f = 81$	25
5.5	Ausschnitt aus dem Programm „LiVal“ von der Firma JETI: Die fünfzehn Referenzfarben(blau) im CIELAB-Farbraum im Vergleich zu den gemessenen Werten (rot)	26
5.6	Blockschaltbild einer TLCI-Wertbestimmung <sup>13</sup>	27
5.7	TLCI-Ergebnisprotokoll eines Arri L7-C LED Fresnelscheinwerfers <sup>14</sup>	29
5.8	Alle 99 Referenzfarben des TM-30 <sup>15</sup>	31

## Abbildungsverzeichnis

5.9	Koordinatensystem aus $R_f$ und $R_g$ : Die hellgraue Zone steht für TM-30-Werte die nicht auf der Plank'schen Kurve liegen und die dunkelgraue Zone steht für alle Werte, die nicht mehr als „weiß“ angesehen werden. <sup>16</sup> . . . . .	32
5.10	Wie sich die Farben der Testleuchte verhalten ist in der Vektorgraphik des $R_g$ -Wertes anschaulich dargestellt. Der schwarze Kreis stellt die Referenzleuchte dar, der rote die getestete. <sup>17</sup> . . . . .	33
5.11	Wie sich die Farben der Testleuchte verhalten ist in der Vektorgraphik des $R_g$ -Wertes anschaulich dargestellt. Der schwarze Kreis stellt die Referenzleuchte dar, der rote die getestete. <sup>18</sup> . . . . .	34



# Tabellenverzeichnis

5.1	$R_a$ eingeteilt in verschiedene Stufen <sup>19</sup>	22
5.2	$Q_a$ eingeteilt in verschiedene Stufen <sup>20</sup>	28

# Literaturverzeichnis

- Bladowski, Beate & Maus, Daniel: „*Farbwahrnehmung*“ <http://irtel.uni-mannheim.de/lehre/seminararbeiten/w96/Farbe/seminar.htm#Wieviele>, 15.07.2010, letzter Zugriff 28.06.2018
- Royer, Micheal & Houser Kevin: „*Understanding and Applying TM-30-15*“ [https://www.energy.gov/sites/prod/files/2015/09/f26/tm30-intro-webinar\\_9-15-15.pdf](https://www.energy.gov/sites/prod/files/2015/09/f26/tm30-intro-webinar_9-15-15.pdf), 15.09.2015, letzter Zugriff 26.06.2018
- U.S. Department of Energy: „*Evaluating Color Rendition Using IES TM-30-15*“ [https://www.energy.gov/sites/prod/files/2016/04/f30/tm-30\\_fact-sheet.pdf](https://www.energy.gov/sites/prod/files/2016/04/f30/tm-30_fact-sheet.pdf), Oktober 2015, letzter Zugriff 25.06.2018
- Commission Internationale de l'Eclairage: „*Technical Report 177:2007 : Color Rendering of White LED Light Sources*“ <https://de.scribd.com/document/125319182/CIE-177-2007>, 2007, letzter Zugriff 20.06.2018
- Davis, Wendy L. & Ohno, Yoshihiro: „*Development of a Color Quality Scale*“ <http://citeseerx.ist.psu.edu/viewdoc/download?doi=10.1.1.568.8399&rep=rep1&type=pdf>, 08.02.2006, letzter Zugriff 20.06.2018
- DocCheck Flexikon: „*Skotopisches Sehen*“ [http://flexikon.doccheck.com/de/Skotopisches\\_Sehen](http://flexikon.doccheck.com/de/Skotopisches_Sehen), 24.01.2014, letzter Zugriff 18.06.2018
- DocCheck Flexikon: „*Photopisches Sehen*“ [http://flexikon.doccheck.com/de/Photopisches\\_Sehen](http://flexikon.doccheck.com/de/Photopisches_Sehen), 10.05.2016, letzter Zugriff 18.06.2018
- Production Partner: „*Farbwiedergabe: TM-30-15, CRI und Co.*“ <https://www.production-partner.de/basics/farbwiedergabe-tm-30-15-cri-und-co/>, 22.02.2018, letzter Zugriff 20.06.2018
- Gigahertz-Optik: „*Grundlagen der Lichtmesstechnik*“ <https://www.gigahertz-optik.de/de-de/grundlagen-lichtmesstechnik/>, letzter Zugriff 20.06.2018
- Ohno, Yoshi: „Spectral design considerations for white LED color rendering“, *Optical Engineering* vol. 44 (11), November 2005
- Fan, Jiajie & Yung, Winco & Pecht, Michael: „Prognostics of Chromaticity State for Phosphor-Converted White Light Emitting Diodes Using an Unscented Kalman Filter Approach“, *Device and Materials Reliability* vol. 14, 01.03.2014

- Royer, Michael P.: „IES TM-30-15 Is Approved—Now What?“, *LEUKOS* vol. 12 (1-2, 3-5), 2016
- Dooley, Wesley L. & Streicher, Ronald D.: „M–S Stereo: A Powerful Technique for Working in Stereo“, *Journ. Audio Engineering Society* vol. 30 (10), 1982
- Roberts, Alan: *TELEVISION LIGHTING CONSISTENCY INDEX (TLCI-2012)*, Version 2.015e, 18.04.2015
- Schmidt, Ulrich: *Professionelle Videotechnik - Grundlagen, Filmtechnik, Fernsehtechnik, Geräte- und Studioteknik in SD, HD, DI, 3D*, 6. Aufl., Springer Vieweg 2013
- Mueller, Jens: *Handbuch der Lichttechnik - Know-How für Film, Fernsehen, Theater, Veranstaltungen und Events*, 5. Aufl., PPVMedien 2014
- Hentschel, Hans-Jürgen: *Licht und Beleuchtung Theorie und Praxis der Lichttechnik*, 4. Aufl., Hüthig 1994
- Spehr, Georg (Hrsg.): *Funktionale Klänge*, transcript 2009
- Greule, Roland (Autor): *Licht und Beleuchtung im Medienbereich*, Hanser 2015
- Khanh, Tran Quoc (Autor) & Bodrogi, Peter (Autor) & Vinh, Trinh Quang (Autor): *Color Quality of Semiconductor and Conventional Light Sources*, Wiley-VCH 2017
- Sowodniok, Ulrike: „Funktionaler Stimmklang – Ein Prozess mit Nachhaltigkeit“, in: Spehr, Georg (Hrsg.): *Funktionale Klänge*, transcript 2009
- Stephenson, Uwe: „Comparison of the Mirror Image Source Method and the Sound Particle Simulation Method“, *Applied Acoustics* vol. 29, 1990
- ITU Radiocommunication Assembly: *RECOMMENDATION ITU-R BT.500-11: Methodology for the subjective assessment of the quality of television pictures*, 1974-1978-1982-1986-1990-1992-1994-1995-1998-1998-2000-2002
- ITU Radiocommunication Assembly: *Report ITU-R BT.1082: Studies Toward The Unification Of Picture Assessment Methodology*, 1986-1990

Ich versichere, die vorliegende Arbeit selbstständig ohne fremde Hilfe verfasst und keine anderen Quellen und Hilfsmittel als die angegebenen benutzt zu haben. Die aus anderen Werken wörtlich entnommenen Stellen oder dem Sinn nach entlehnten Passagen sind durch Quellenangaben eindeutig kenntlich gemacht.

Ort, Datum

Matthias Held